

ТИПОВЫЕ СТРОИТЕЛЬНЫЕ КОНСТРУКЦИИ, ИЗДЕЛИЯ
И УЗЛЫ

СЕРИЯ 1.020-1/87

КОНСТРУКЦИИ КАРКАСА МЕЖЭТАЖНОГО ПРИМЕНЕНИЯ
ДЛЯ МНОГОЭТАЖНЫХ ОБЩЕСТВЕННЫХ ЗДАНИЙ,
ПРОИЗВОДСТВЕННЫХ И ВОСПОМОГАТЕЛЬНЫХ ЗДАНИЙ
ПРОМЫШЛЕННЫХ ПРЕДПРИЯТИЙ

ВЫПУСК 0-3

УКАЗАНИЯ ПО РАСЧЕТУ ПРОЧНОСТИ
УСТОЙЧИВОСТИ И ДЕФОРМАТИВНОСТИ ЗДАНИЯ
С ДИАФРАГМАМИ ЖЕСТКОСТИ

Дрх.32826 л.1/70

ТИПОВЫЕ СТРОИТЕЛЬНЫЕ КОНСТРУКЦИИ, ИЗДЕЛИЯ
И УЗЛЫ

СЕРИЯ 1.020-1/87

КОНСТРУКЦИИ КАРКАСА МЕЖВИДОВОГО ПРИМЕНЕНИЯ
ДЛЯ МНОГОЭТАЖНЫХ ОБЩЕСТВЕННЫХ ЗДАНИЙ,
ПРОИЗВОДСТВЕННЫХ И ВСПОМОГАТЕЛЬНЫХ ЗДАНИЙ
ПРОМЫШЛЕННЫХ ПРЕДПРИЯТИЙ

ВЫПУСК 0-3

УКАЗАНИЯ ПО РАСЧЕТУ ПРОЧНОСТИ, УСТОЙЧИВОСТИ
И ДЕФОРМАТИВНОСТИ ЗДАНИЙ С ДИАФРАГМАМИ
ЖЕСТКОСТИ

РАЗРАБОТАНЫ

ЦНИИЭП ТОРГОВО-БЫТОВЫХ ЗДАНИЙ
И ТУРИСТСКИХ КОМПЛЕКСОВ

ДИРЕКТОР ИНСТИТУТА
НАЧАЛЬНИК ОТДЕЛА
ЗАМ.ДИРЕКТОРА
НАЧАЛЬНИК ОТДЕЛА
ГЛИНЖЕНЕР ПРОЕКТА

В.И. Лепосин
В.И. ЛЕПОСИН
В.И. Лепосин
В.И. ЛЕПОСИН
В.И. Лепосин
В.И. ЛЕПОСИН

УТВЕРЖДЕНЫ
ГОССТРОЕМ СССР
ПРОТОКОЛ ОТ
12.12.90 N 4-15

ЦНИИСК ИМ.К.А.СЕРЕНКО В.А.

ДИРЕКТОР ИНСТИТУТА
ЗАВ.ОТДЕЛОМ
ЗАВ.ЛАБОРАТОРИИ

В.А. Серенко
В.А. СЕРЕНКО
В.А. Серенко
В.А. СЕРЕНКО
В.А. Серенко
В.А. СЕРЕНКО

Вх. 32826 л.2

ОБОЗНАЧЕНИЕ ДОКУМЕНТА	НАИМЕНОВАНИЕ	СТР.
I.020-I/87. 0-3-01ПЗ	Общие положения. Раздел 1	3
I.020-I/87. 0-3-02ПЗ	Статический расчет здания. Раздел 2	7
I.020-I/87. 0-3-03ПЗ	Проверки предельных состояний. Раздел 3	14
I.020-I/87. 0-3-04ПЗ	Предварительный подбор диафрагм. Раздел 4	21
I.020-I/87. 0-3-05ПЗ	Прочность сборных диафрагм. Раздел 5	24
I.020-I/87. 0-3-06ПЗ	Расчет дисков перекрытий. Раздел 6	61
I.020-I/87. 0-3-07ПЗ	Автоматизированный метод расчета железобетонных скелетных систем. Раздел 7	64
I.020-I/87. 0-3-08ПЗ	Ограничения температурных деформаций. Раздел 8	66

Box 32826.1.3

ИЗД. ПОСЛА	ПОСЛА И ДАТА	ВНЕСЛ
	НАИМЕНОВАНИЕ	ПОСЛА
НАИМЕНОВАНИЕ	ПОСЛА	ПОСЛА
ПОСЛА	ПОСЛА	ПОСЛА
ПОСЛА	ПОСЛА	ПОСЛА
ПОСЛА	ПОСЛА	ПОСЛА
ПОСЛА	ПОСЛА	ПОСЛА
ПОСЛА	ПОСЛА	ПОСЛА

I.020-I/87. 0-3			
СОДЕРЖАНИЕ	СТАДИЯ	ЛИСТ	ЛИСТОВ
	Р		1
ЦНИИЭП			
<small>ИЗДАНИЕ ИЗДАНИЕ И ИЗДАНИЕ</small>			

Г. ОБЩИЕ ПОЛОЖЕНИЯ.

Г.1. Настоящие "Указания" включают методические рекомендации по определению усилий в элементах пространственных несущих систем каркасно-панельных зданий, проектируемых с применением сборных типовых железобетонных изделий серии I.020-I/87, деформаций здания, а также проверке прочности конструкций и их соединений.

"Указания" разработаны в соответствии со СНиП: 2.03.01-84 "Бетонные и железобетонные конструкции"; 2.01.07-85 "Нагрузки и воздействия"; 2.02.01-83 "Основания зданий и сооружений"; 2.01.07-85 "Нагрузки и воздействия" (Дополнения раздела 10. Прогнозы перемещения.)

Г.2. При выборе расчетных моделей и методов для зданий со связанным каркасом серии I.020-I/87 допустимо принимать стыки ригелей с колоннами шарнирными и не учитывать сопротивления, оказываемого ригелем каркаса горизонтальным перемещения. Пространственная неизменяемость здания обеспечивается вертикальными диафрагмами жесткости.

Г.3. Типовые сборные диафрагмы жесткости образуются путем заполнения каркаса сборными диафрагменными панелями.

В отдельных случаях могут применяться монолитные железобетонные диафрагмы и ядра жесткости, а также диафрагмы жесткости в виде несущих железобетонных, кирпичных или каменных наружных или внутренних стен, а также комплексных конструкций, образованных путем заполнения сборного железобетонного каркаса кирпичными перегородками. В дальнейшем подобные конструкции будем сокращенно именовать "нетиповые диафрагмы жесткости". Техничко-экономическая целесообразность применения нетиповых диафрагм жесткости определяется местными ресурсами и индустриальной базой района строительства.

Вх. 32826 л. 4

№ п. п.	Имя, Подпись и дата	Фамилия	И.020-I/87. 0-3-01ПЗ		СТАДИА		
			НАЧ.ОТД	ВЗВЕШЕН	Р	И	А
			ИХОНТР	САФОНОВА	ЦНИИЭП		
			ГЛАВ.ОТД	ШАЦ	Зем. э- визитные здания в экономиче- ском варианте		
			ПАНАУЧ.ИС	ПАНЬШИН			
			Г И П	КОЛАДЧЕВА			
			ПРОВЕР	НИКОЛОВА			
			РАЗРАБ	СИМОНОВ			

Как типовые, так и нетиповые диафрагмы могут иметь сложную в плане форму поперечного сечения открытого или замкнутого (так называемые "ядра жесткости") профиля.

1.4. Типовые и в большинстве случаев нетиповые диафрагмы жесткости являются составными конструкциями (рис.1), включающими колонны каркаса и сборные, монолитные или кирпичные (каменные) стены. Эти элементы объединены связями (закладными изделиями, анкерами, перемычками и т.п.), которые обеспечивают их совместную работу. Достаточную несущую способность связей необходимо проверять расчетом.

Податливость связей оказывает влияние на распределение усилий между элементами диафрагм и на перемещения здания. Следует также учитывать податливость горизонтальных растворных швов сборных диафрагм жесткости, снижающих жесткость стеновых панелей.

1.5. Практически всегда значения внутренних усилий в конструкциях и полных перемещений несущей системы зависят от деформаций основания здания.

1.6. При проектировании зданий со связевым каркасом серии 1.020-1/87 необходимо выполнить статические расчеты пространственной несущей системы и произвести проверки прочности и жесткости конструкций. В результате статических расчетов находят усилия в диафрагмах жесткости и связях при действии горизонтальных и вертикальных нагрузок, а также перемещения здания. По рассчитанным значениям усилий проверяют несущую способность конструктивных элементов и связей, а перемещения сопоставляют с допустимыми значениями.

1.7. При компоновке пространственной несущей системы здания диафрагмы жесткости целесообразно размещать таким образом, чтобы обеспечивалась максимальная свобода объемно-планировочных решений - в огражденных лестничных клетках, лестнично-лифтовых узлах и т.п. Наиболее эффективны диафрагмы с развитым в плане поперечным сечением

Вх. 32826 Л. 5

№	ГРУПА	ПОДГРУПА	ИТА	СТАДИИ

1.020-1/87. 0-3-0113	ЛСТ 2
----------------------	----------

и ячея жесткости при переменной по высоте жесткости или с частичными обрезами в соответствии с характером изменения нагрузок.

1.8. Число диафрагм жесткости, устанавливаемых в одном температурном блоке, должно быть не менее трех. При этом геометрические оси диафрагм не должны пересекаться в одной точке. На рис.2 приведены примеры правильной (а) и неправильной (б) компоновки конструктивной схемы здания.

1.9. Существует принципиальная возможность проектирования зданий с конструктивными решениями, не предусмотренными типовыми монтажными схемами, в частности - зданий, в верхних этажах которых не установлены диафрагмы жесткости, и малоэтажных зданий без диафрагм жесткости. В этих случаях необходимо выполнить расчет прочности и жесткости каркаса и разработать при необходимости дополнительные изделия. Оценка несущей способности и деформативности указанных несущих систем на основе действующих нормативных документов встречает ряд затруднений, особенно при назначении расчетных длин скатых элементов каркаса. При проектировании таких зданий можно применять методы расчета, основанные на уточненных моделях и позволяющие учесть нелинейное деформирование конструкций, а также соответствующее прогнание обеспечения, разработанное в ЦНИИЭИ торгово-бытовых зданий и туристских комплексов.

Основные положения методики представлены в документе 0713 настоящих "Указаний".

№ п/п	ГОДА	ПОЛУЧ. И ДАТА	ВЗЯТИЕ

Вх 32826 Л.6

I.020-I/87. 0-3-0113

Лист

3

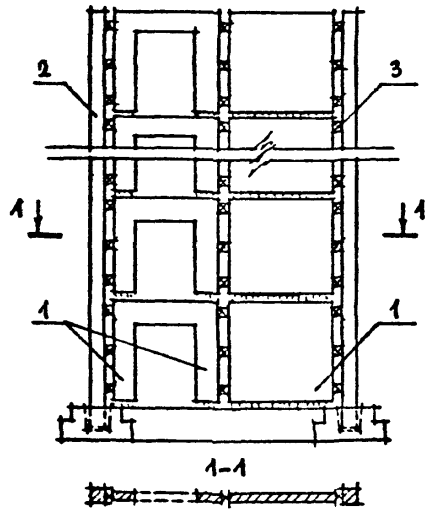


РИС. 1. ОБОБЩЕННАЯ КОНСТРУКТИВНАЯ СХЕМА ДИАФРАГМЫ.
1 - СТЕНКИ ЖЕСТКОСТИ; 2 - ДИАФРАГМЕННЫЕ КОЛОННЫ КАРКАСА; 3 - ЗАКЛАДНЫЕ УЗЛЫ

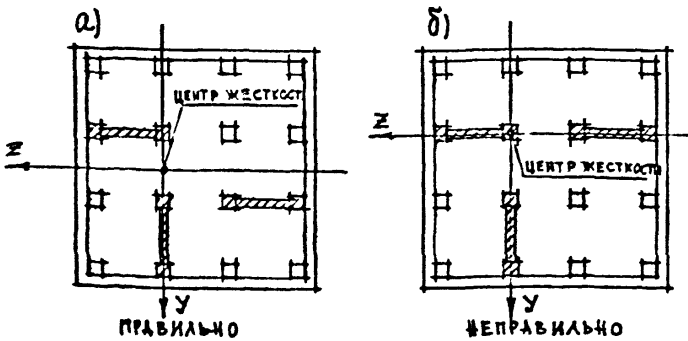


РИС. 2. ПРИМЕРЫ ПРАВИЛЬНОЙ (а) И НЕПРАВИЛЬНОЙ (б) КОМПОНОВКИ КОНСТРУКТИВНОЙ СХЕМЫ ЗДАНИЯ

Вх. 32826 л. 4

4.020-1/67. 0-3-01ПЗ

ЛМС

4

ЛНВ. У ПОДП. ПОДПИСЬ И ДАТА ВЗАИМ. ИМЗУ

2. СТАТИЧЕСКИЙ РАСЧЕТ ЗДАНИЯ.

2.1. Перечисленные в п.п.1.2, 1.4, 1.5 документа ОПЗ конструктивные особенности и факторы, влияющие на напряженно-деформированное состояние элементов несущей системы, можно учесть, применяя различные расчетные модели (в том числе - дискретные) и выполняя расчеты с помощью стандартных программ для ЭВМ, реализующих метод конечных элементов или другие универсальные методы строительной механики.

2.2. Структура настоящих "Указаний ориентирована на преимущественное использование дискретно-континуальной расчетной модели здания, и даны рекомендации по подготовке исходных данных и проверке несущей способности конструктивных элементов. Данная модель, уступающая дискретным в общности, применительно к рассматриваемым конкретным задачам проектирования обеспечивает достаточную для практических целей точность при существенном сокращении объема исходной информации и трудоемкости инженерных расчетов. Статические расчеты детально описаны в технической литературе (Рекомендации по расчету каркасно-панельных общественных зданий с применением ЭВМ. - М.: Стройиздат, 1986; В.И. Лепский и др. - Полносборные конструкции общественных зданий. - М.: Стройиздат, 1986; П.Ф. Дроздов и др. - Проектирование и расчет многоэтажных гражданских зданий и их элементов. - М.: Стройиздат, 1986), в настоящих "Указаниях" приведены только принципиальные расчетные положения и дополнительные материалы, не нашедшие отражения в перечисленных источниках.

2.3. Статический расчет здания на основе дискретно-континуальной модели рекомендуется выполнять, используя программы для ЭВМ, разрабо-

Вх. 32826-18

№№ ПОСЛ.	ПОДПИСЬ И ДАТА	ВЗНАШЕК	И.020-1/87. 0-3-02ПЗ		
			НАЧ ОЛД	ВОЛЪСКИЙ	<i>[Signature]</i>
№№ ПОСЛ.	ПОДПИСЬ И ДАТА	ВЗНАШЕК	ИКС ПР	САУЯИНА	<i>[Signature]</i>
			РАСЧЕТ	ЭИИ	<i>[Signature]</i>
			САЛУЧЧД	ПАНЫШИИ	<i>[Signature]</i>
			СИП	КОДАШЕВА	<i>[Signature]</i>
			ПРОВЕР.	МАНДРИДИ	<i>[Signature]</i>
			РАЗРАБ	СИМОНОВ	<i>[Signature]</i>
			СТАДИЯ	ЛСТ	ЧСТОВ
			Р	1	7
			СТАТИЧЕСКИЙ РАСЧЕТ ЗДАНИЯ РАЗДЕЛ 2		ТОП... 2- ВЫСОКИЕ ЗДАНИЯ И ТУРИСТСКИЕ КОМПЛЕКСЫ
					ЦНИИЭП

танные с учетом специфических конструктивных особенностей типового связевого каркаса серии I.020-I/87. Алгоритм, реализованный в программе, позволяет учесть податливость стыков сборных элементов, продольный изгиб несущих конструкций, деформации основания.

2.4. Расчетная схема здания принимается в виде пространственной стержневой системы, состоящей из вертикальных элементов - столбов, в швах между которыми сосредоточены связи сдвига. При формировании расчетной схемы рекомендуется каждый конструктивный элемент - колонну, входящую в состав сборной диафрагмы жесткости, вертикальный ряд стен жесткости или простенков стены с проемом - рассматривать как самостоятельный столб. Пример расчетной схемы представлен на рис.3.

Основными характеристиками столбов служат величины их осевых и изгибных жесткостей, при определении которых следует учитывать податливость горизонтальных растворных швов. Значения жесткостей типовых элементов каркаса можно принимать равными:

Элемент	осевая жесткость	изгибная жесткость
	I_c	$I_c \cdot m^2$
Колонна сечением 400x400 мм	5×10^5	7×10^3
Участок стенки длиной 1 м	$3,8 \times 10^5$	$3,15 \times 10^4$

Связями сдвига, объединяющими столбы расчетной схемы, являются закладные изделия сборных железобетонных конструкций, надпроемные перемычки и др. элементы. Деформационные свойства связей сдвига характеризуются коэффициентами податливости, значения которых для соединения стенки с колонной составляют $4,75 \times 10^{-5} \text{ м}^2/\text{тс}$, а для соединения стенки со стеной $3 \times 10^{-5} \text{ м}^2/\text{тс}$.

2.5. В общем случае необходимо учитывать действие на здание горизонтальных и вертикальных нагрузок.

Вх. 32826 Л.9

I.020-I/87. 0-3-0213

Лист

2

ФОРМАТ А4

Горизонтальные (ветровые) нагрузки распределены по высоте здания неравномерно в соответствии с эпурой ветрового давления (рис.4а). Расчетную эпюру без заметных погрешностей результатов можно представить трапецией (рис.4б), параметры которой равны:

$$q = M_w (6 - 2\mu) / h^2 \quad (2.1)$$

$$\alpha = (4\mu - 6) / (6 - 2\mu) \quad (2.2)$$

$$\mu = Q_w h / M_w \quad (2.3)$$

где: M_w ; Q_w - значения соответственно момента и поперечной силы в уровне основания от ветровых нагрузок;

h - высота здания.

Вертикальные нагрузки приложены к отдельным столбам, их значения включают собственный вес конструкций и временные нагрузки на перекрытиях. В большинстве случаев вертикальные нагрузки допускается принимать равномерно распределенными по высоте здания, считая их центральными для каждого столба.

2.6. В рамках данной модели возможен расчет здания с переменной по высоте жесткостью несущих конструкций, что для проектных решений на основе типовых изделий имеет место при обрыве части диафрагм на определенных уровнях (см.рис.5). Общий подход к формированию расчетной схемы здания и сбору нагрузок при этом сохраняется таким же, как в п.п. 2.4, 2.5 с включением дополнительной информации по участкам с различной жесткостью элементов. Аналогично выполняется расчет зданий, решенных в виде двух разновысоких объемов (рис.6).

2.7. Учет влияния деформируемого основания ^{МОЖЕТ} осуществляться при расчете здания путем введения в расчетную схему фиктивного участка конечной длины (рис.7), для которого жесткости столбов и связей назначаются из условия равенства деформаций в начале фиктивного участка реальным деформациям фундаментов.

Вх. 32826 Л/С

I.020-I/87. 0-3-02ПЗ

Лист

3

Типовое конструктивное решение фундаментов под диафрагмы исключает возможность взаимных сдвигов столбов, составляющих диафрагму, и на величину значения внутренних усилий в конструктивных элементах и перемещения здания оказывает влияние только крен фундамента. В этом случае рекомендуется связи сдвига в пределах фактивного участка принимать абсолютно жесткими и, задавшись его длиной, определить изгибную жесткость фактивной диафрагмы, приравняв угол ее поворота крену фундамента, рассчитанному по формуле (10) обязательного приложения 2 СНиП 2.02.01-83. Для случая действия ветровой нагрузки значение крена следует принимать с коэффициентом условий работы 0,3 в соответствии с указаниями раздела 10 СНиП 2.01.07-85.

№ п.п.	ПОДПИСЬ В БАТА	ИЗДАНИЕ

Вх. 32826 и 11

I.020-I/87. 0-3-00112

Лист

4

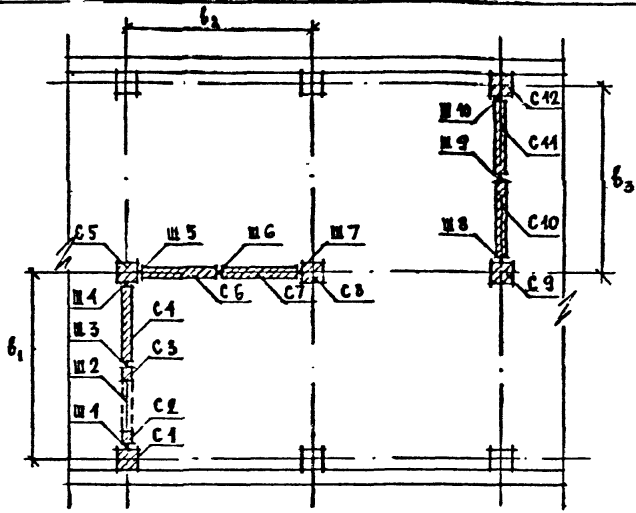


Рис. 3. РАСЧЕТНАЯ СХЕМА ЗДАНИЯ.
 С1-С12 - СТОЛБЫ РАСЧЕТНОЙ СХЕМЫ
 Ш1-Ш10 - ШВЫ РАСЧЕТНОЙ СХЕМЫ

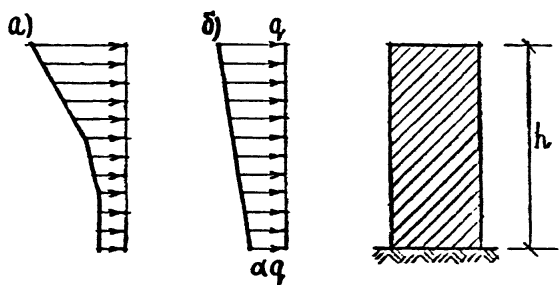


Рис. 4. ДЕЙСТВИТЕЛЬНАЯ (а) и РАСЧЕТНАЯ (б) ЗАКОНЫ ВЕТРОВЫХ ЗАГРУЗОК.

Сх. 32826 л. 12

ИНЖ. ПОЛ. ПОЛИНСКИЙ К. А. И. ИСАЯМ. И. И. И. И. И.

1.020-1/87. 0-3-0203

Лист
5

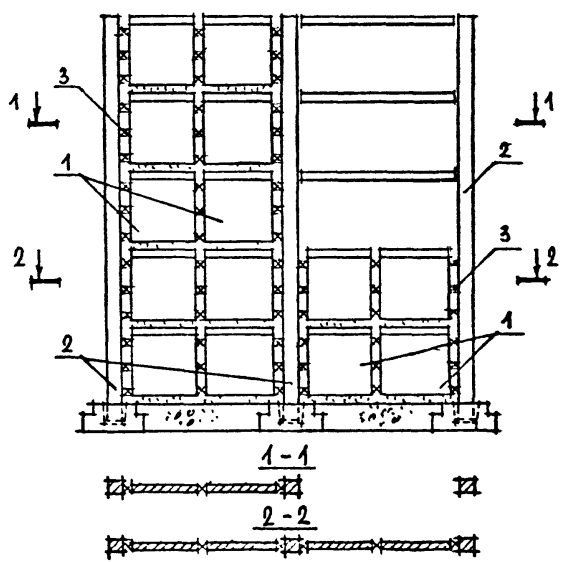


РИС. 5. КОНСТРУКТИВНАЯ СХЕМА ДИАФРАГМЫ ПЕРЕМЕННОЙ ЖЕСТКОСТИ.
 1- СТЕНКИ ЖЕСТКОСТИ; 2- ДИАФРАГМЕННЫЕ КОЛОННЫ; 3- ЗАКЛАДНЫЕ ИЗДЕЛИЯ

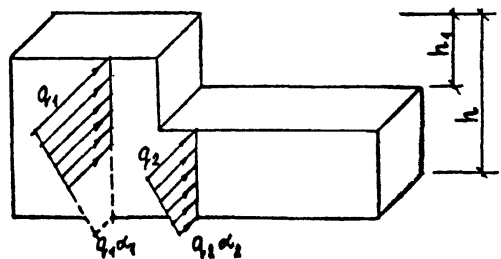


РИС. 6. СХЕМА ЗДАНИЯ ПЕРЕМЕННОЙ ВЫСОТЫ.

Вн. 32826. 13

КЕР. И ПОДПИСЬ И ДАТА ВРАЧ. ЛИСА И

1020-1/87. 0-3-02 ПЗ

ЛИСА

6

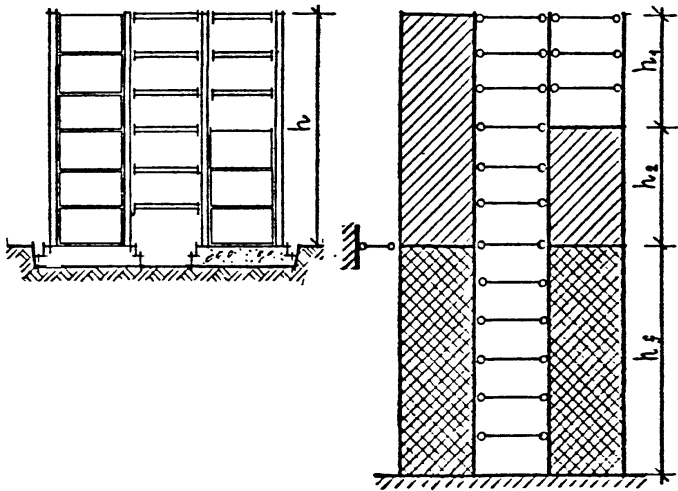


РИС. 7. РАСЧЕТНАЯ СХЕМА ЗДАНИЯ ПРИ УЧЕТЕ ПОДАТЯКОСТИ ОСНОВАНИЯ.

СНБ. ПРА. ПОЛИСЬ И ВАТ. ВЛАД. ЖИВУ

Вх. 32826-л.14

1.020-1/87. 0-3-02ПЗ

ЛИСТ
7

3. ПРОВЕРКИ ПРЕДЕЛЬНЫХ СОСТОЯНИЙ.

3.1. После того, как в результате статических расчетов определены усилия в конструкциях и перемещения здания, необходимо проверить прочность элементов и жесткость несущей системы здания.

Проверки прочности выполняют для диафрагм по нормальным сечениям при внецентренном сжатии и на сдвиг по поперечным силам, а также для закладных изделий и перемычек при действии сдвигающих усилий в вертикальных швах.

3.2. Прочность нормальных сечений при внецентренном сжатии проверяется для плоских двухколонных диафрагм, при этом в составе диафрагмы сложного поперечного сечения выделяются все возможные расчетные плоские диафрагмы. Так, для угловой диафрагмы на рис.3 прочность проверяется для двух расчетных плоских диафрагм, включающих столбы С1 ... С5 и С5 ... С8 соответственно. В программах АЛЭЗМ предусмотрено вычисление значений продольной силы и изгибающего момента для двухколонных диафрагм, необходимых для выполнения проверки прочности.

Прочность нормальных сечений внецентренно сжатых диафрагм характеризуется графиком несущей способности (рис.8), параметрами которого служат значения: N_d - предельной продольной силы, воспринимаемой диафрагмой при центральном сжатии; N_B, M_B - предельные продольная сила и изгибающий момент, соответствующие границе между первым и вторым случаями внецентренного сжатия; N_C, M_C - предельная продольная сила, действующая с эксцентриситетом, равным расстоянию от оси диафрагмы до оси сжатой колонны, и соответствующий изгибающий момент.

Конфигурация расчетного графика несущей способности, представлен-

Bx 32826 л.15

ИЗМ. ПОПРАВКИ И ДАТА

ИМЯ	ПОДПИСЬ	ПОДПИСЬ
ИКС ОП	САВВИНА	<i>SAV</i>
САХУНОВ	ВАЦ	<i>SAK</i>
САРАЧЕНКО	ПРИШВИН	<i>SAR</i>
ГРИГ	КРАДА СКА	<i>GRIG</i>
ГОЛОВ	ИМКО СЕРГЕЕВ	<i>GOLOV</i>
САХАРОВ	СИМОНОВ	<i>SACH</i>

I.020-I/87. 0-3-0323

ПРОВЕРКИ ПРЕДЕЛЬНЫХ СОСТОЯНИЙ РАЗДЕЛ 3

СТАДИА	ЛСТ	ЛСТСВ
Р	Т	7
ЦНИИЗП		

ного на рис.8 сплошной линией, соответствует конструктивным решениям, в которых диафрагменная колонна не воспринимает растягивающих усилий - например, для сечений по обрезу фундамента при типовых узлах сопряжения колонны с фундаментом. Если узлы сопряжения диафрагменной колонны с фундаментом выполнены по индивидуальному проекту и могут передавать растягивающие усилия, несущая способность диафрагмы увеличивается, и график имеет конфигурацию, показанную на рис.8 пунктиром.

Прочность рассматриваемой плоской диафрагмы обеспечена, если точка расчетных усилий с координатами $(N; K \cdot M)$, где N и M - внутренние усилия в данной диафрагме, расположена внутри графика несущей способности (рис.8). Выполняя проверку прочности, значение изгибающего момента M , определенное в результате статического расчета здания, следует умножить на коэффициент условий работы K_1 , если продольное усилие N соответствует диапазону $N_a > N > N_b$, или K_2 , если продольное усилие N соответствует диапазону $N_g > N > N_c$.

Значения коэффициентов условий работы зависят от относительной высоты β диафрагмы, которая равна:

$$\beta = h / b \quad (3.1)$$

где: h - высота здания;

b - высота поперечного сечения (для плоской диафрагмы) или длина контура поперечного сечения (для диафрагмы сложной конфигурации).

Например, для показанной на рис.3 уголкового диафрагмы $b = b_1 + b_2$, для плоской - $b = b_3$.

Коэффициенты условий работы рассчитывают по формулам:

$$K_1 = (\beta + 0,25) / (\beta - 0,25) \quad (3.2)$$

$$K_2 = 1 + (K_1 - 1) (N - N_a) / (N_b - N_c) \quad (3.3)$$

Вх. 32826 л. 16

1.020-1/87. 0-3-03ЭЗ

ЛСТ
2

Параметры графиков несущей способности типовых сборных диафрагм для сечения по обрезу фундамента без учета работы диафрагменной колонны на растяжение приведены в документе 05ПЗ.

При расчете плоских и пространственных многоколонных диафрагм (рис. 9) возможны случаи, когда точка расчетных усилий для рассматриваемой в их составе двухколонной диафрагмы выходит за пределы графика ее несущей способности, однако прочность многоколонной диафрагмы в целом обеспечена. Эти случаи соответствуют малым или отрицательным значениям продольных сил, а точка расчетных усилий при этом лежит ниже линии ОС графика несущей способности (на рис. 8 - точка L). Тогда необходимо дополнительно выполнить для диафрагмы в целом проверку условий:

$$M_{sy} = N_s (b_y - c_y) \quad (3.4)$$

$$M_{sz} < N_s (b_x - c_x) \quad (3.5)$$

где: N_s ; M_{sy} ; M_{sz} - суммарные значения продольной силы и изгибающих моментов в диафрагмах;

b_y ; b_x - расстояние между крайними колоннами;

c_y ; c_x - расстояние от растянутой колонны до центра тяжести диафрагмы.

3.3. Прочность горизонтального сечения диафрагмы на сдвиг обеспечена при соблюдении условия:

$$Q_s \leq 0,5 N_s + R_t A_s \quad (3.6)$$

где: Q_s - значение суммарной поперечной силы в диафрагме;

N_s - суммарная продольная сила в диафрагме;

R_t - сопротивление бетона колонн растяжению;

A_s - суммарная площадь поперечного сечения диафрагменных колонн.

Проверка условия (3.6) производится для диафрагмы в целом, при этом расчетное значение суммарной поперечной силы Q_s является равнодействующей поперечных сил в столбах расчетной схемы диафрагмы

Вх. 32826 л. 17

I.020-I/87. 0-3-03ПЗ

Лист
3

(см. п. 2.4), а значение продольной силы N_s - суммой продольных сил столбов.

Условие (3.6) следует проверять в уровне пола верхнего этажа здания.

3.4. Прочность закладных изделий и перемычек по вертикальному направлению обеспечена, если приращение сдвигающих сил в яме в пределах этажа меньше несущей способности закладных изделий данного этажа или перемычек, приведенной в таблице:

высота этажа, м	высота проема, м	несущая способность, тс	
		перемычки	закладные изделия
3,3	2,14	29,5	45
3,6	2,14	38,5	60
3,6	2,47	26,0	60
4,2	2,14	57,5	60
4,2	2,47	32,5	60

3.5. Проверка обеспеченности несущей системы здания по второй группе предельных состояний сводится к контролю прогибов от ветровой нагрузки.

Прогиб f здания не должен превышать $0,0015 h$, где h - высота здания.

Прогиб f_s (см. рис. 10) верхнего этажа высотой h_s не должен превышать следующих предельных значений:

- при податливом креплении к каркасу стен и перегородок при любом их конструктивном решении - $0,002 h_s$;
- при жестком креплении к каркасу стен и перегородок из кирпича, гипсобетона или железобетонных панелей - $0,0015 h_s$;

Вх. 32826 л.18

1.020-1/87. 0-3-03ПЗ

ЛСТ
4

№, год, подпись и дата, взаимн.

- при жестком креплении к каркасу стен и перегородок, облицованных естественным камнем, из керамических блоков или из стекла (вitraжи) - $0,001 h_s$.

Прогибы следует определять в плоскости наружных стен или перегородок, целостность которых должна быть обеспечена. Если стена или перегородка примыкает к диафрагме жесткости, то значение прогиба эшака, определенное статическим расчетом здания, необходимо умножить на коэффициент, равный $1 + 0,5b/l$, где b - высота сечения диафрагмы, l - пролет смежной конструктивной ячейки (см.рис.10).

3.6. Средние и крайние значения давления под подошвой фундамента диафрагмы должны удовлетворять требованиям п.п. 2.4Г и 2.49 СНиП 2.02.01-83.

3.7 В институте разработана программа для ЭВМ - программа „Приказ-91“, осуществляющая статический расчет здания на основе дискретно-континуальной модели и необходимые проверки прочности и деформаций в соответствии с вышеизложенными методами.

ИЗМ. ПОДА	ПОДПИСЬ И ДАТА	ВЗЛОЖИТЕ

Лх. 32826 л. 19

И.020-1/87. 0-3-03ПЗ

ЛСТ
5

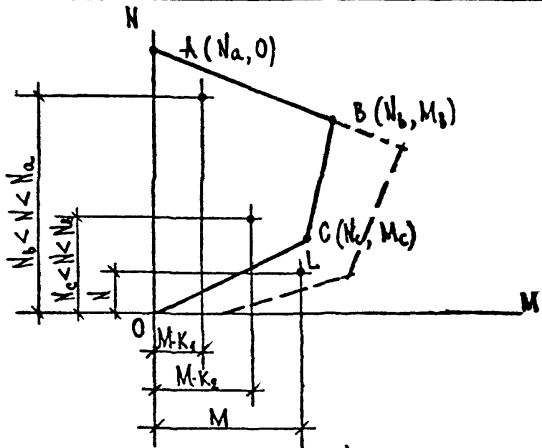


РИС. 8. ГРАФИК НЕСУЩЕЙ СПОСОБНОСТИ ВНЕЦЕНТРЕННО СЖАТОЙ ДИАФРАГМЫ.

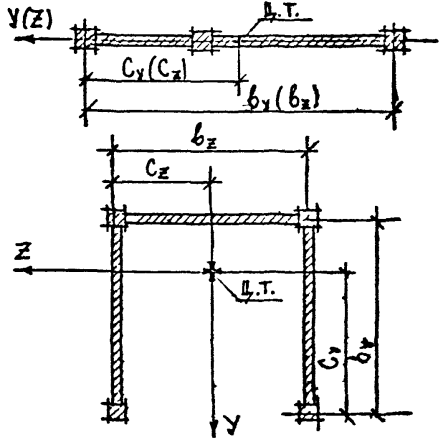


РИС. 9. К РАСЧЕТУ МНОГОКОЛОННЫХ ДИАФРАГМ

№ 32826 Л 20

ИНЖ. П. П. ПОПОВ, ПОДПИСЬ К ДАТА ВЗАИМ. ИНВ. П.

1.020-1/87. 0-3-03П3

ЛИСТ
6

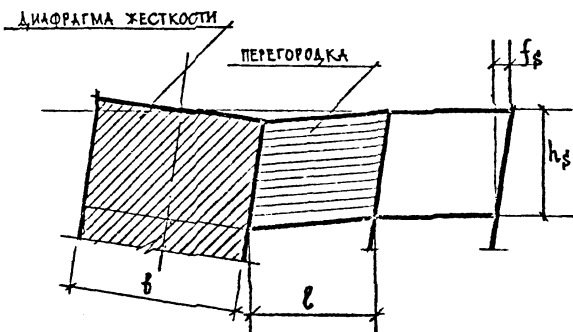


РИС. 10. СХЕМА ДЕФОРМАЦИЙ
ВЕРХНЕГО ЭТАЖА ЗДАНИЯ.

ИЗВ. И ПОДПИС. И ГРАФ. БУМА. ИЛИ И.

Лж. 34826 д. 21

1.020-1/87. 0-5-03П3

ИМСТ

7

4. ПРЕДВАРИТЕЛЬНЫЙ ПОДБОР ДИАФРАГМ.

Необходимое количество n диафрагм можно определить приближенно по формуле:

$$n = M / M_{\text{ДЛ}}$$

где: M - суммарный момент от внешних нагрузок;

$M_{\text{ДЛ}}$ - предельно допустимый момент, воспринимаемый одной диафрагмой.

Предельно допустимый момент, воспринимаемый диафрагмой при внецентрном сжатии (см. п.3.2), равен

$$M_{\text{ДЛ}} = M_{\text{цс}} / K_L$$

где: $M_{\text{цс}}$ - несущая способность внецентренно сжатой диафрагмы;

K_L - коэффициент условий работы K_1 или K_2 , вычисленный по формуле (3.2) или (3.3) соответственно.

В качестве предельно допустимого момента диафрагмы принимается наименьшее из двух значений, определенных при действия максимальной и минимальной продольной силы. На рис. II представлена схема определения несущей способности диафрагмы с использованием графиков, приведенных в разделе 5; пунктиром показан график несущей способности, отпечатанной принятой в проекте несущей способности диафрагменной колонны. Окончательный конструктивный вариант несущей системы здания должен быть проверен расчетом по всем предельным состояниям по указаниям разделов 2 и 3.

Проверка расчета. Определять ориентировочное количество диафрагм для 7-этажного здания, предназначенного для строительства в IV ветровом районе. Размеры здания в плане 60x18 м (см. рис. 12), высота этажа - 3,6 м; высота здания $h = 27$ м; ветровой момент $M = 2420 \text{ тс.м}$.

Вх 02826 22

№. ПОДЛ.	ИЗМ. ПОДА.	ПОДПИСЬ И ДАТА	ВЗНАМЕ.	I.020-I/67. 0-3-04ИЗ			
				НАЧ.ОТД.	ВОЗВ.СКОРЯ		
				И.ОТД.	САНВИНА		
				СЛ.КОМСТ.	ЩАЦ		
				Г.А.НАУЧИС.	ПАНЕВИЧ		
				С.И.П.	КОСТАЛОВА		
				ПРОВЕР.	НИКОМОРОС		
				РАЗРАБ.	СИМОНОВ		

ПРЕДВАРИТЕЛЬНЫЙ
ПОДБОР ДИАФРАГМ
РАЗДЕЛ 4

СТАДИЯ	ЛИСТ	ЛИСТОВ
Р	1	3
ТОН. - ВЫСОКАЯ ЗДАНИЯ И УНИВЕРСАЛЬНЫЕ КОМПОЗИТЫ		

Предполагая установку диафрагм в среднем модуле, определяем продольные силы в диафрагмах: $N_{\max} = 700$ тс и $N_{\min} = 380$ тс*. Несущая способность диафрагменных колонн принимается равной 340 тс. Используя материалы раздела 5 для глухой 6-метровой диафрагмы и построив методом интерполяции расчетный график, отвечающий прочности колонны 340 т, находим параметры расчетного графика, необходимые для расчета коэффициентов условий работы $N_b = 560$ тс, $N_c = 340$ тс, а также значения несущей способности диафрагмы при максимальной и минимальной продольной силах соответственно $M_{US}(N_{\max}) = 1020$ тсм и $M_{US}(N_{\min}) = 1080$ тсм.

Предельно допустимые моменты в диафрагме $M_{\text{ДЛ}}$ с учетом коэффициентов условий работы, вычисленных по формулам (3.2) и (3.3) при относительной высоте диафрагмы $\beta = h/b = 27:6 = 4,5$, равны:

при $N_{\max} = 700$ тс -

$$K_I = (\beta + 0,25) / (\beta - 0,25) = (4,5 + 0,25) : (4,5 - 0,25) = 1,12;$$

$$M_{\text{ДЛ}} = M_{US} / K_I = 1020 : 1,12 = 910 \text{ тсм};$$

при $N_{\min} = 380$ тс -

$$K_2 = 1 + (K_I - 1)(N - N_c) / (N_b - N_c) =$$

$$= 1 + (1,12 - 1)(380 - 340) : (560 - 340) = 1,02;$$

$$M_{\text{ДЛ}} = M_{US} : K_2 = 1080 : 1,02 = 1060 \text{ тсм}.$$

Расчетное значение предельного момента в диафрагме $M_{\text{ДЛ}} = 910$ тсм.

При действии на здание суммарного момента ветровых нагрузок

$M = 2420$ тсм, необходимое количество диафрагм равно:

$$n = M / M_{\text{ДЛ}} = 2420 : 910 = 2,66 \approx 3 \text{ шт.}$$

* Примечание: Сбор вертикальных нагрузок на диафрагмы произведен с учетом расчетной унифицированной нагрузки на перекрытиях 800 кг/м^2 .

№. ГОДА ПОДПИСИ И ДАТА ВЗАИМНО

Вх. 32826.1.23

1.020-1/87. 0-3-04ПЗ

ИСТ
2

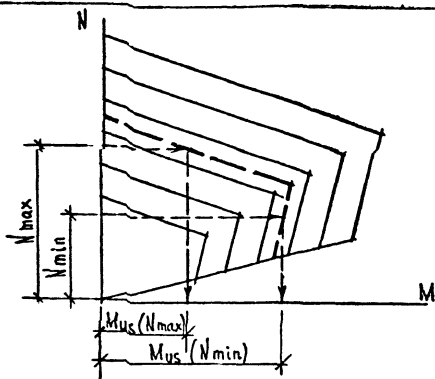


РИС. 11. ОПРЕДЕЛЕНИЕ ПРЕДЕЛЬНО ДОПУСТИМЫХ МОМЕНТОВ РАМ.

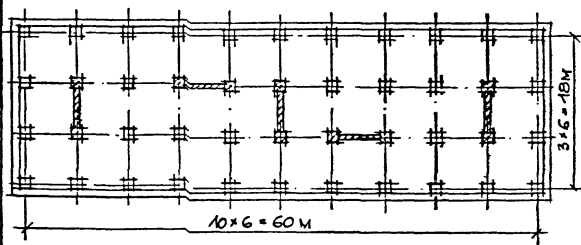


РИС. 12.

РИС. 11 ПОДА ПОДПИСЬ И ДАТА БРАМ. РАМ

Лр. 32826 л. 24

1020 - 1/87. 0-3-04 ПЗ

ЛИСТ
3

5. ПРОЧНОСТЬ СБОРНЫХ ДИАФРАГМ.

В настоящем разделе представлены графики несущей способности сборных диафрагм жесткости при внецентренном сжатии. Различные ветви графика соответствуют обозначенной на них несущей способности колонны. Параметры графиков (см. п. 3.2) вычислены для сечений по обрезу фундаментов без учета растяжения в колоннах по формулам (см. рис. I3):

$$N_a = S_w l_w + \Sigma S_c$$

$$N_b = S_c + S_w l_b$$

$$M_b = S_c b + S_w l_b \gamma_b - N_b c$$

$$N_c = S_c$$

$$M_c = S_c (b - c).$$

- где S_c - несущая способность колонны при сжатии;
 S_w - распределенная несущая способность стенки;
 l_b, γ_b - высота сжатой зоны в стенке диафрагмы и плечо внутренней пары, отвечающие границе между первым и вторым случаями внецентренного сжатия;
 c - расстояние от оси менее сжатой колонны до оси диафрагмы;
 l_w - длина стенки;
 b - расстояние между осями диафрагменных колонн.

Графики рассчитаны для диафрагм с высотой этажа до 4,2 м включительно. В этом диапазоне несущая способность стенки может быть принята для всех высот одинаковой и равной $S_w = 80$ тс/м.

При построении графиков принималось, что правая колонна на схеме диафрагмы расположена в сжатой зоне и несущая способность обеих колонн одинакова.

Вх. 32826 л. 25

№ п. п.	ГОДА	ИЗДАНИЕ И ВАРИАНТ	КОМПЛЕКТ	И.020-1/87. 0-3-0513			СТАДИЯ	ЛИСТ	ЛИСТОВ		
				НАЧ. РАБОТ	Е. В. ЮСОВ	Л. П.	Р	1	37		
			ИЗМЕР.	САИВИНА	Л. П.	ПРОЧНОСТЬ СБОРНЫХ ДИАФРАГМ РАЗДЕЛ 5					
			ГЛУБОЧ.	ЩА	Л. П.				ЦНИИЭП Технико- эконом. Здание в Горьковской комплексе		
			Г. И. П.	УСАДАШЕВА	Л. П.						
			ПРОБЕР.	НИКОНОРОВА	Л. П.						
			РАЗРАБ.	СИМОНОВ	С. П.						

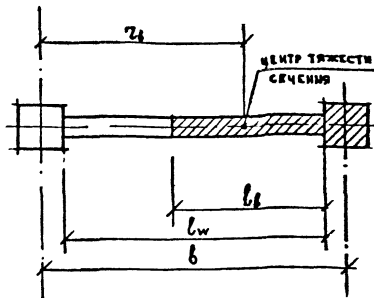


РИС. 13

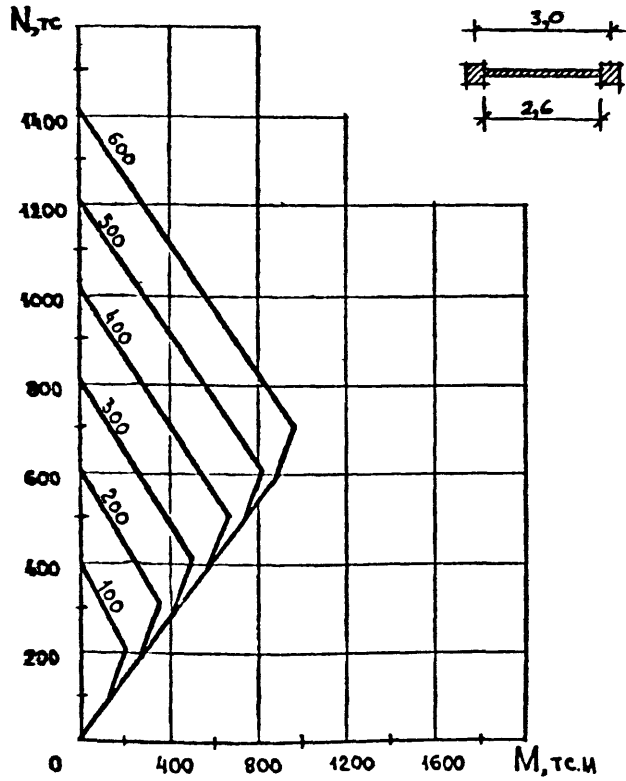
ИЗВ. В ПОЛ. ПРАВИС. К ЗАТ. ЗАМ. ИРИАН

Вх-32826 д. 16

4.020-1/87. 0-3-0573

ЛМСТ

2



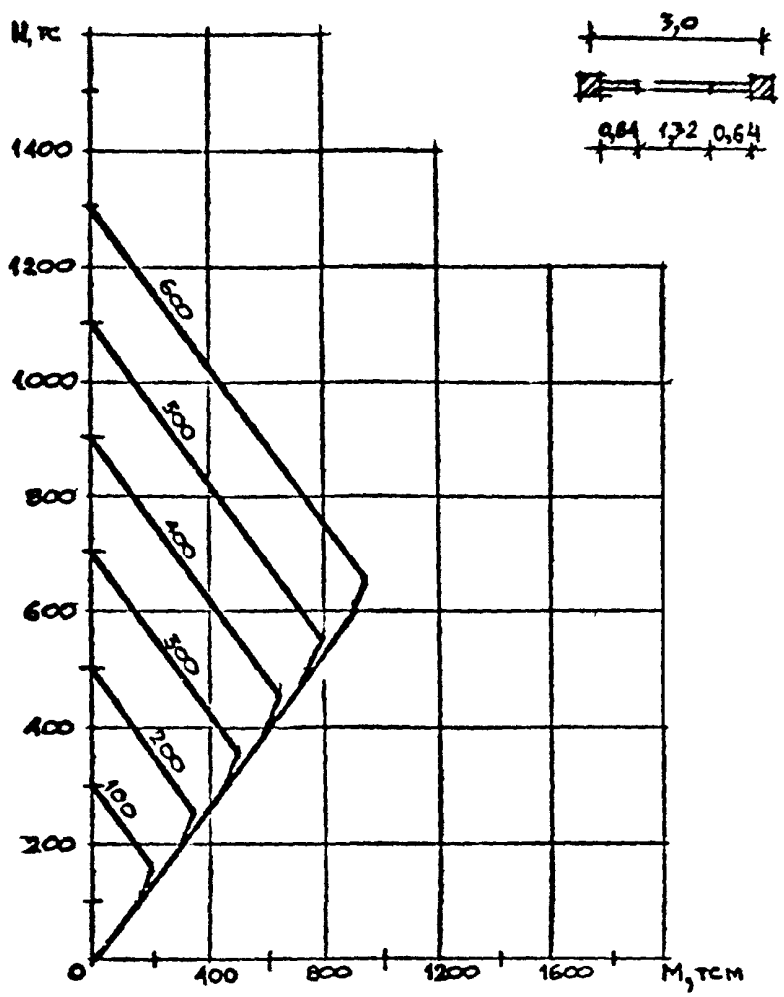
Прочность колонны, TC	N_a	N_b	M_b	N_c	M_c
	TC	TC	TCM	TC	TCM
100	408	204	217	100	149
200	608	304	367	200	299
300	808	404	517	300	449
400	1008	504	667	400	599
500	1208	604	817	500	749
600	1408	704	967	600	899

Р.х. 32826 Л.24

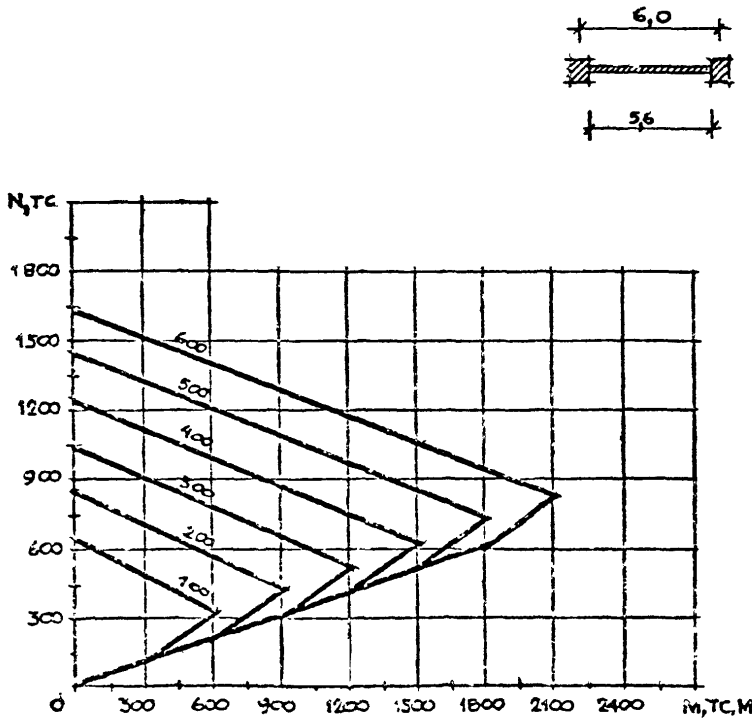
1.020 - 1/87. 0-3 - 05N3

ЛКСТ
3

ИЗВ. В РСЛД. ПОЛУСЬ И ДАТА ВЗАИМНОС.И



ИМЯ И ПОЛН. ПОДПИСЬ И ДАТА ВЗЯМ. ИМБ. И	Прочность колонны, TC	N_a TC	N_b TC	M_b TCM	N_c TC	M_c TCM
	100	302	15I	200	100	150
	200	502	25I	350	200	300
	300	702	35I	500	300	450
	400	902	45I	650	400	600
	500	1102	55I	800	500	750
	600	1302	65I	950	600	900
№ 32826 и 28						1.020-1/87. 0-3-05 ПЗ
						АМСТ 4

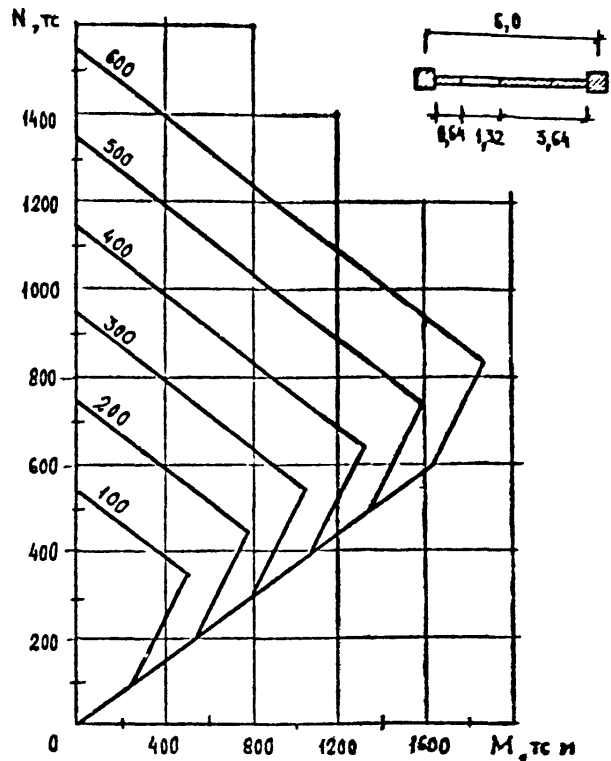


Прочность колонны, TC	N_d	N_g	M_g	M_c	N_c
	TC	TC	TCM	TC	TCM
100	648	324	613	100	300
200	848	424	813	200	600
300	1048	524	1213	300	900
400	1248	624	1513	400	1200
500	1448	724	1813	500	1500
600	1648	824	2113	600	1800

Вх. 32826 л. 29

020 - 1/87. С-3-05ПЗ	ЛМСТ 5
----------------------	-----------

ИМЬ И ПОДЛ. ПОДПИСЬ И ДАТА | БЛАЖ. ИВ. М.



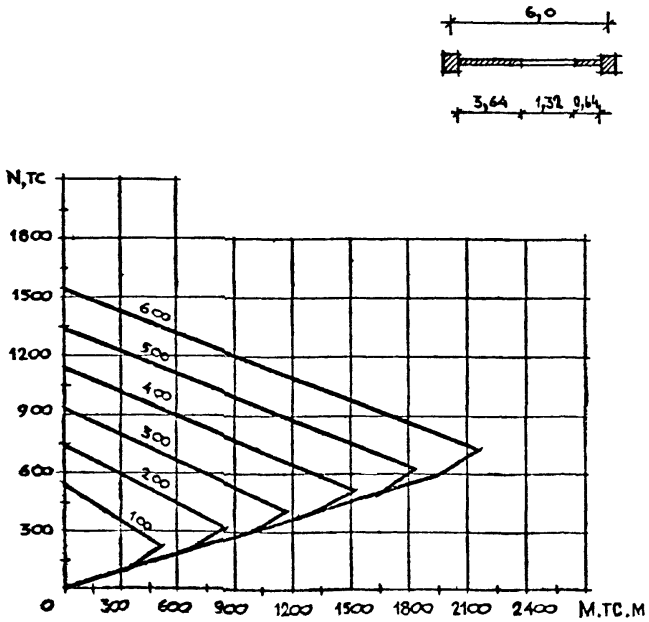
Прочность колонны, тс	N_d	N_g	M_g	N_e	M_e
	тс	тс	тс м	тс	тс м
100	542	324	518	100	270
200	742	424	789	200	541
300	942	524	1069	300	812
400	1142	624	1330	400	1082
500	1342	724	1601	500	1353
600	1542	824	1872	600	1624

Вх 32825 и 30

1.020-1/87 0-3-05ПЗ

АНСТ
6

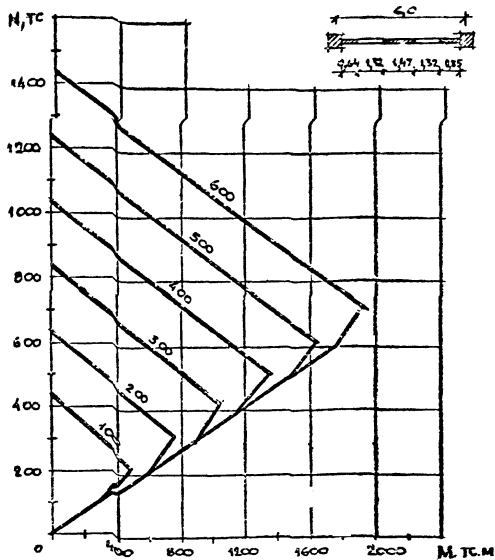
ИНВ. И ПОДЛ. ПОДПИСЬ И ДАТА
ВЗАН. ИМЯ И



Прочность колонны, Tc	N_a	N_b	M_b	N_c	M_c
	Tc	Tc	Tc.M	Tc	Tc.M
100	542	218	519	100	329
200	742	318	848	200	658
300	942	418	1177	300	987
400	1142	518	1507	400	1317
500	1342	618	1836	500	1646
600	1542	718	2165	600	1975

Вх. 32826 д. 31

1.020-1/87. 0-3-0573



Имя и фамилия
подпись и дата
выпол. работы

Прочность
колонны,
тс

N_a
тс

N_b
тс

M_b
т.см

N_c
тс

M_c
т.см

100

436

218

456

100

294

200

636

318

761

200

589

300

836

418

1056

300

884

400

1036

518

1350

400

1179

500

1236

618

1645

500

1474

600

1436

718

1940

600

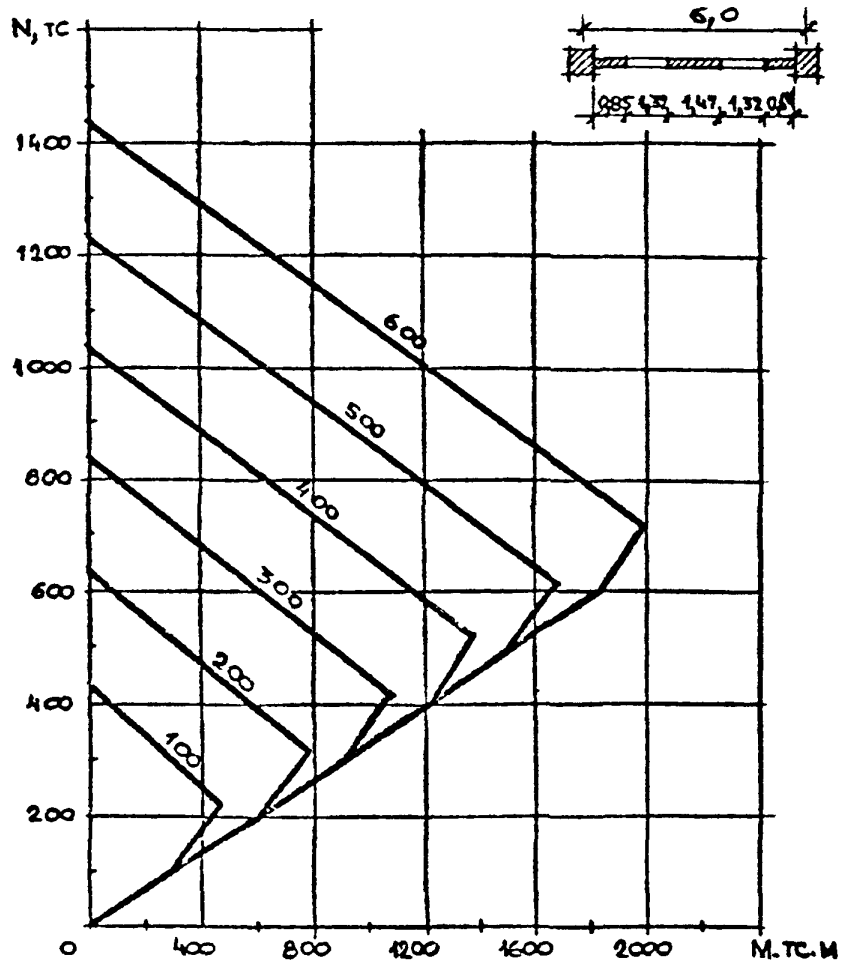
1769

Вх 32826 д. 32

1020 - 4/87. 0-3-0513

лист

8

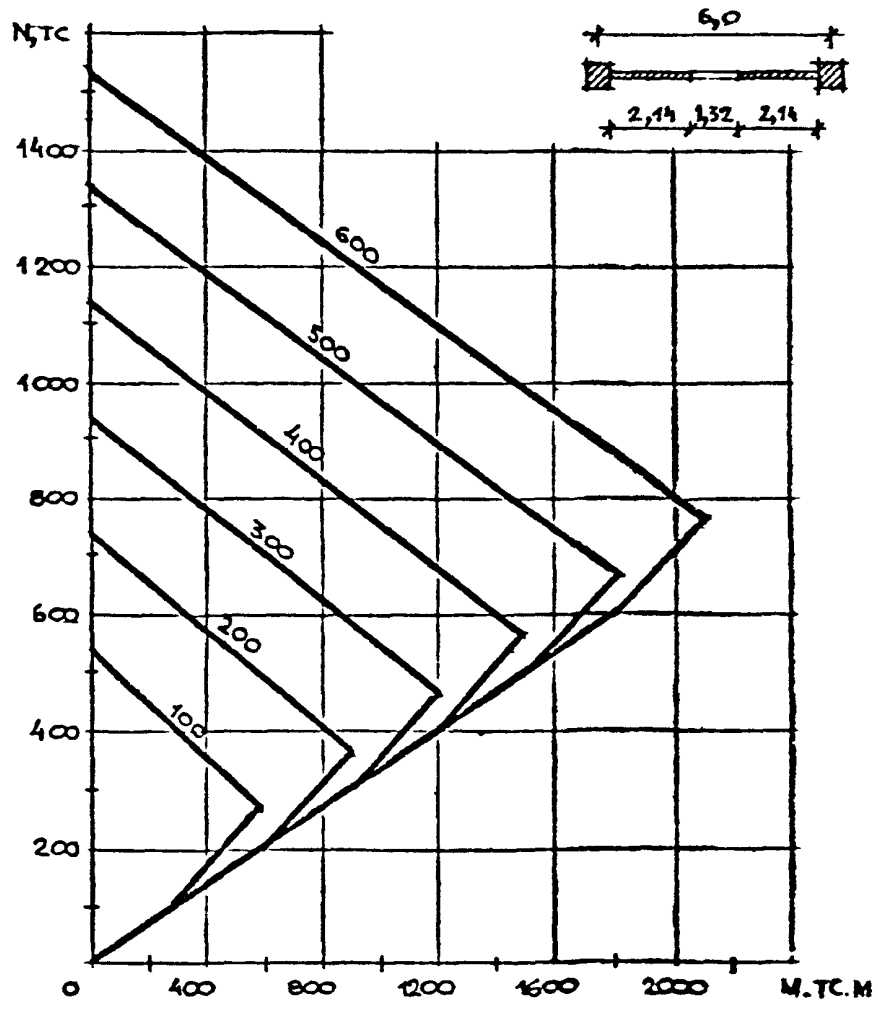


Прочность колонны, TC	N_a	N_b	M_b	N_c	M_c
	TC	TC	TCM	TC	TCM
100	436	218	466	100	305
200	636	318	771	200	610
300	836	418	1076	300	915
400	1036	518	1381	400	1220
500	1236	618	1686	500	1525
600	1436	718	1991	600	1830

Вх. 32826 л. 33

1.020-1/87. 0-3-0513

ИМСТ
9

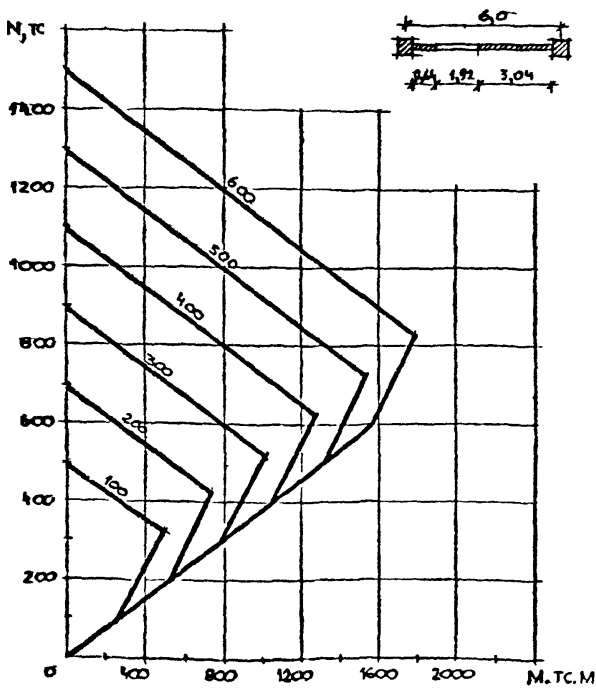


Прочность колонны, TC	N_a	N_b	M_b	N_c	M_c
	TC	TC	TCM	TC	TCM
100	542	271	596	100	300
200	742	371	896	200	600
300	942	471	1196	300	900
400	1142	571	1496	400	1200
500	1342	671	1796	500	1500
600	1542	771	2096	600	1800

Bx 32826 л. 34

1.020 - 1/87. 0-3 - 05ПЗ	ЛИСТ 16
--------------------------	------------

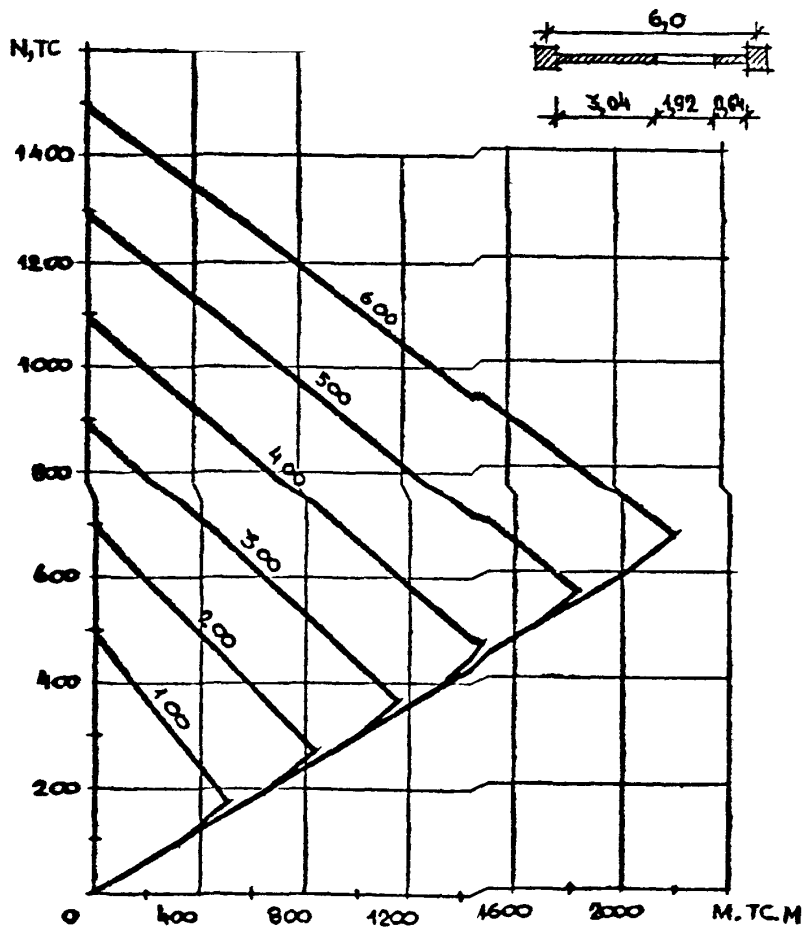
ИМБ. М. П. Д. А. ПОДПИСЬ И ДАТА



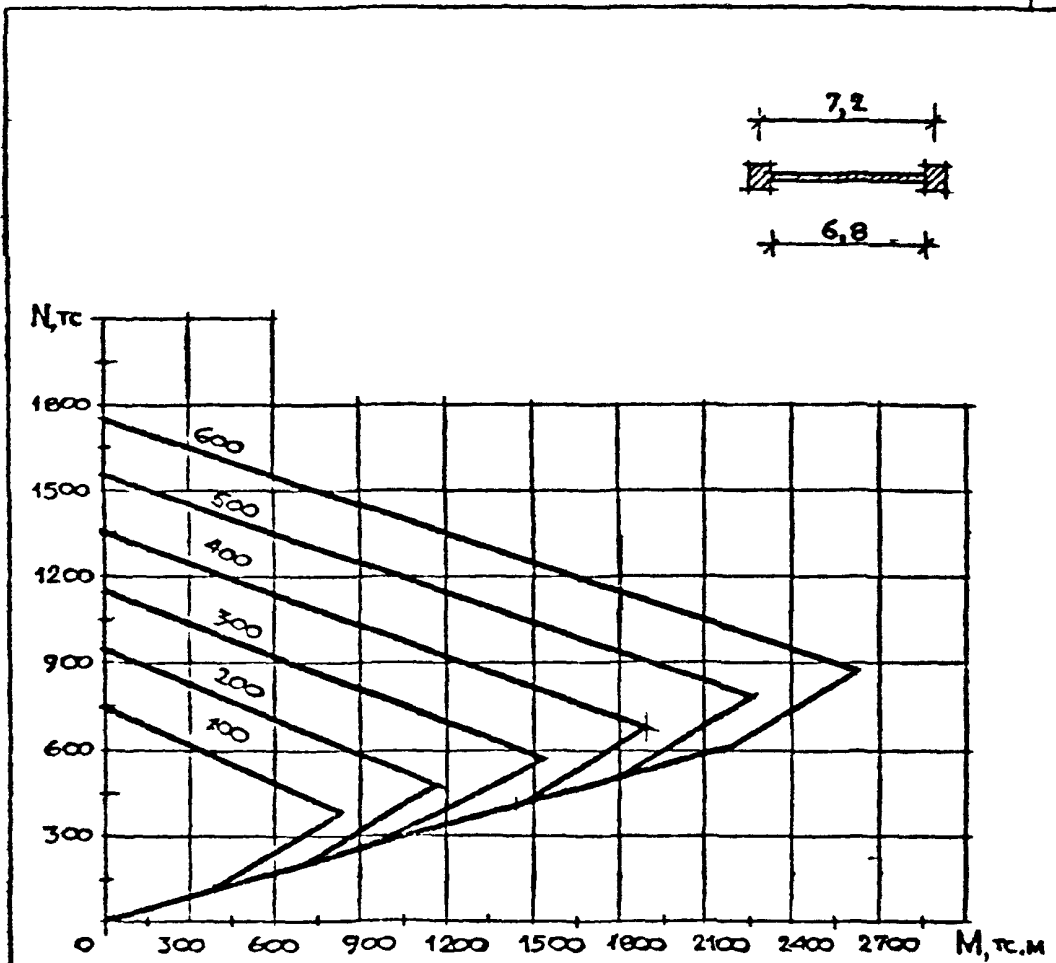
Имя, и подл., фамилия и дата	Время, мин	Прочность	N_a	N_b	M_b	N_c	M_c
		коэффициент, τ_0	τ_0	τ_0	гсм	τ_0	гсм
		100	494	324	492	100	262
		200	694	424	754	200	525
		300	894	524	1017	300	787
		400	1094	624	1279	400	1050
		500	1294	724	1542	500	1312
		600	1494	824	1805	600	1575

Вх. 32826 л. 35

1.020 - 1/87. 0-3 - 05П3	АНСТ 11
--------------------------	------------



ИНВ. И ПОДЛ. ПОДПИСЬ И ДАТА	Прочность колонны, тс	N_a	N_b	M_b	N_c	M_c
		тс	тс	тсм	тс	тсм
ИНВ. И ПОДЛ.	100	494	170	493	100	337
ПОДПИСЬ	200	694	270	830	200	674
И ДАТА	300	894	370	1167	300	1012
	400	1094	470	1505	400	1349
	500	1294	570	1842	500	1687
	600	1494	670	2180	600	2024
<i>Вх. 32826 л. 36</i>						
1.020-1/87. 0-3-05П3						ЛИСТ
						12

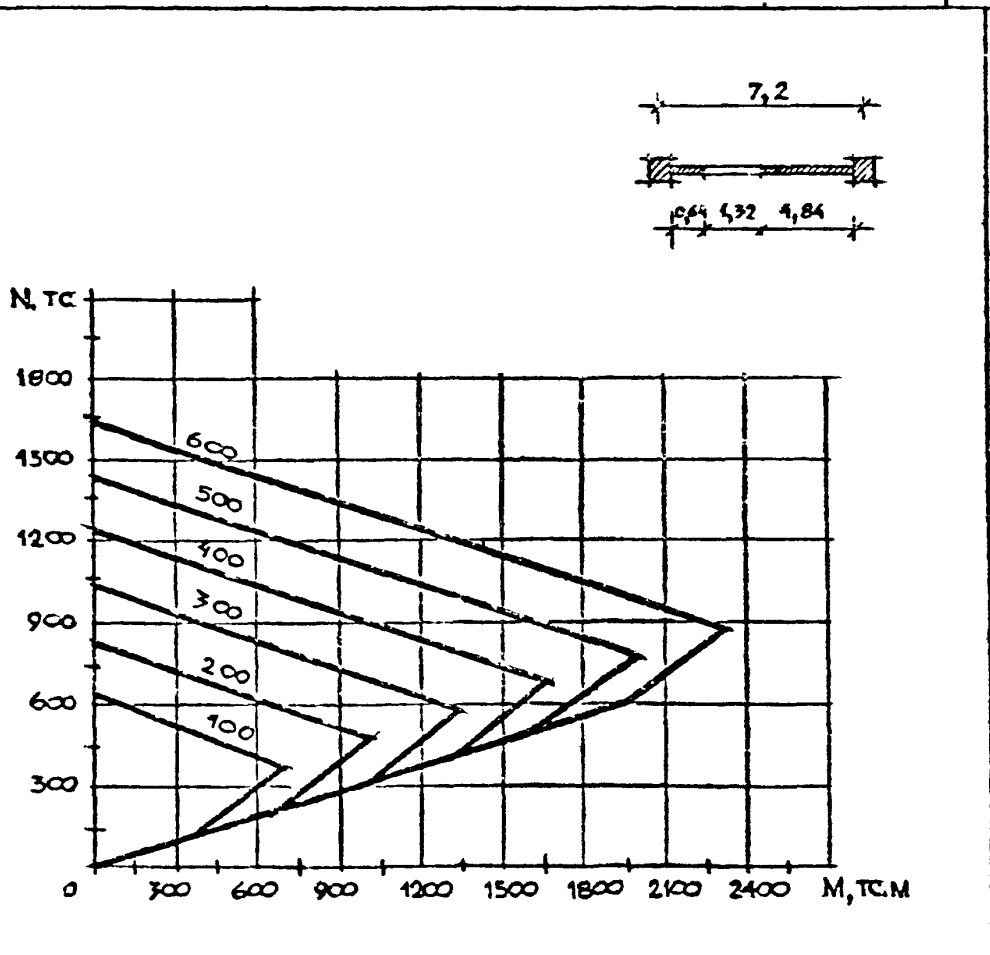


ИМЬ И ПОДП. ПОДПИСЬ В ДАТА	БЕЗ ИМЬ И ПОДП.	Прочность колонны, тс	N_d , тс	N_g , тс	M_g , тсм	N_e , тс	M_e , тсм
		100	744	372	822	100	360
200	944	472	1182	200	720		
300	1144	572	1542	300	1080		
400	1344	672	1902	400	1440		
500	1544	772	2262	500	1800		
600	1744	872	2622	600	2160		

Вх 32826 л. 37

1.020-1/87. 0-3-05ПЗ

АМСТ
13



Прочность колонны, TC	N_a TC	N_b TC	M_b T.C.M	N_c TC	M_c T.C.M
100	638	372	692	100	325
200	838	472	1017	200	650
300	1038	572	1343	300	975
400	1238	672	1668	400	1300
500	1438	772	1993	500	1625
600	1638	872	2318	600	1950

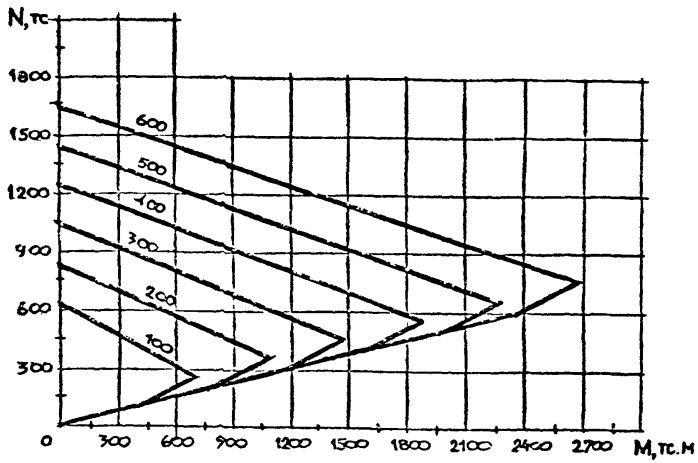
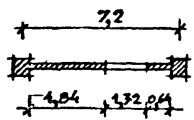
ИМЯ И ПОДПИСЬ ПОДПИСЬ И ДАТА

Вх. 32826 л. 38

1.020-1/87. 0-3-05П3

Лист

14



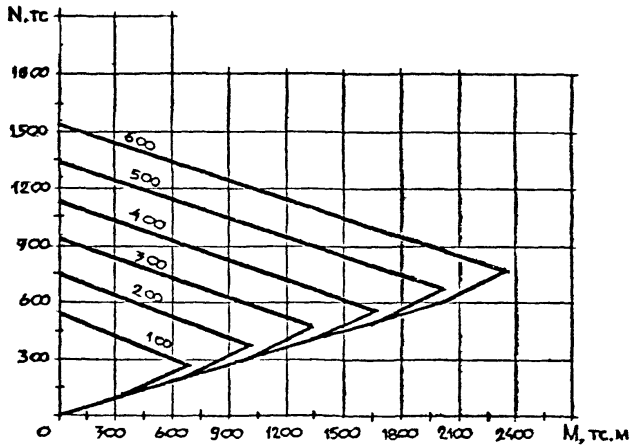
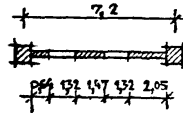
ИМЬ. И ПРОДЛ. ПО ДЛИНАМ И ДАТА ВЪВЕД. ВНЕД. М

Прочность колонны тс	N_a тс	N_b тс	M_b тс.м	N_c тс	M_c тс.м
100	638	266	683	100	394
200	838	366	1088	200	789
300	1038	466	1483	300	1184
400	1238	566	1878	400	1579
500	1438	666	2272	500	1974
600	1638	766	2667	600	2369

Вх 32826 л 39

1.020-1/87. 0-3-05 ПЗ

ЛИСТ
15



Прочность колонны, тс	N_d тс	N_c тс	M_d тс.м	N_c тс	M_c тс.м
100	532	266	874	100	331
200	732	366	1006	200	663
300	932	466	1338	300	995
400	1132	566	1670	400	1327
500	1332	666	2002	500	1659
600	1532	766	2334	600	1991

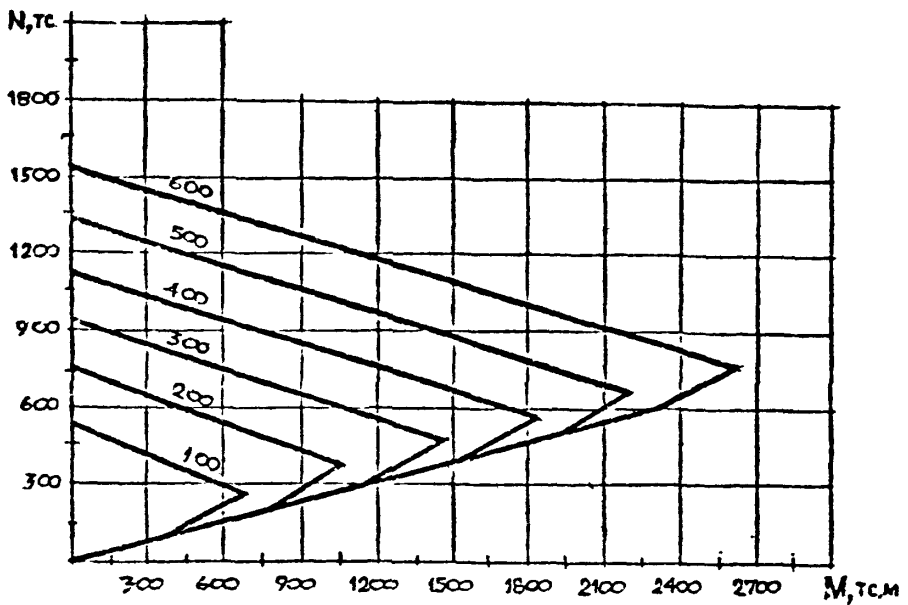
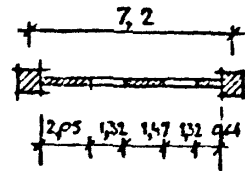
Вх 32826 н. 90

1.020-1/87. 0-3-05ПЗ

ЛИСТ

16

ИНВ. ПОД. БОЛТИСЬ И ГАТА. БРАМ. ИНВ. И



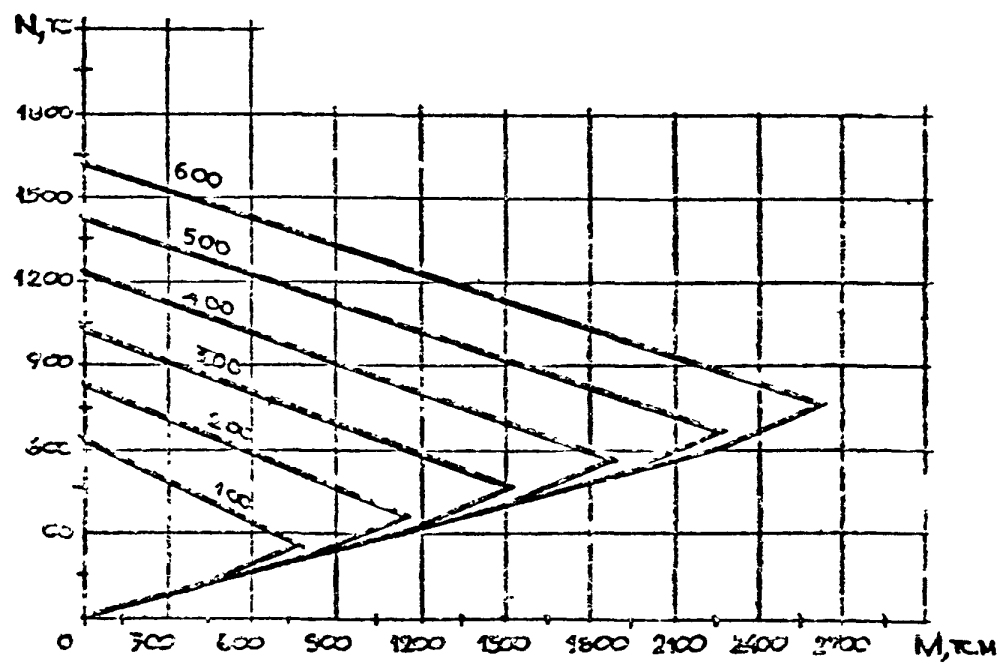
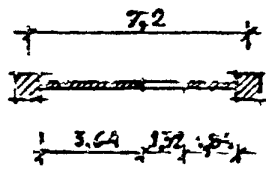
Прочность колонны, тс	N_a тс	N_b тс	M_b тс.м	N_c тс	M_c тс.м
100	532	266	675	100	388
200	732	366	1063	200	776
300	932	466	1451	300	1164
400	1132	566	1839	400	1552
500	1332	666	2227	500	1940
600	1532	766	2615	600	2328

ИМЬ. И ПОЛ. ПОЛПИСЬ И ДАТА В ЗАМ. ИМЬ. И

Дх 32826 №. 41

1.020-1/87. 0-3-05Н3

ЛМСТ
17



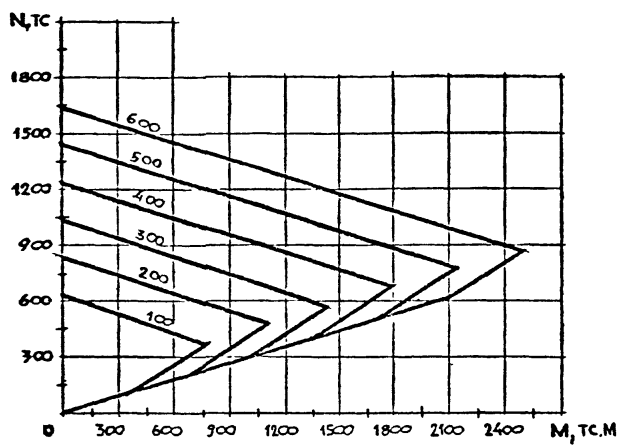
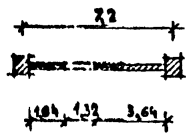
ПРОЧНОСТЬ КОЛОННЫ TC	N_c TC	N_B TC	M_B TCM	N_c TC	M_c TCM
100	628	266	767	100	374
200	635	366	1142	200	749
300	1058	466	1517	300	1124
400	1238	555	1891	400	1499
500	1438	666	2265	500	1874
600	1638	766	2641	600	2249

ИЗБ. И ПОДА. ПО ПИСЬ. И ДТА. С.С.М. И.Н.С.М.

Bx 32826 n 42

4020-4/87. 0-3-95ПЗ

ТАБЛИЦА
48

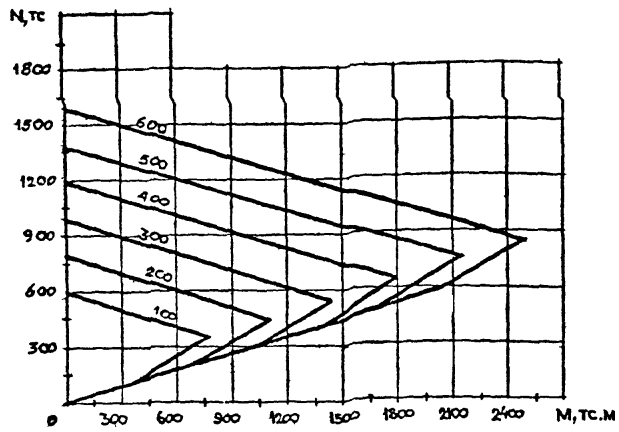
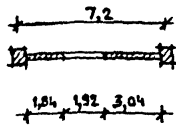


ИЗМ. И ПОДП. ПОДАТЬ В ЗАКАЗ. ИЛИ В

Прочность колонны, Tc	N_a Tc	N_g Tc	M_g Tc.M	N_c Tc	M_c Tc.M
100	638	372	766	100	345
200	838	472	1111	200	690
300	1038	572	1456	300	1035
400	1238	672	1802	400	1380
500	1438	772	2147	500	1725
600	1638	872	2492	600	2070

Лх 32826 л. 43

1.820 - 1/87. 0-3-0515



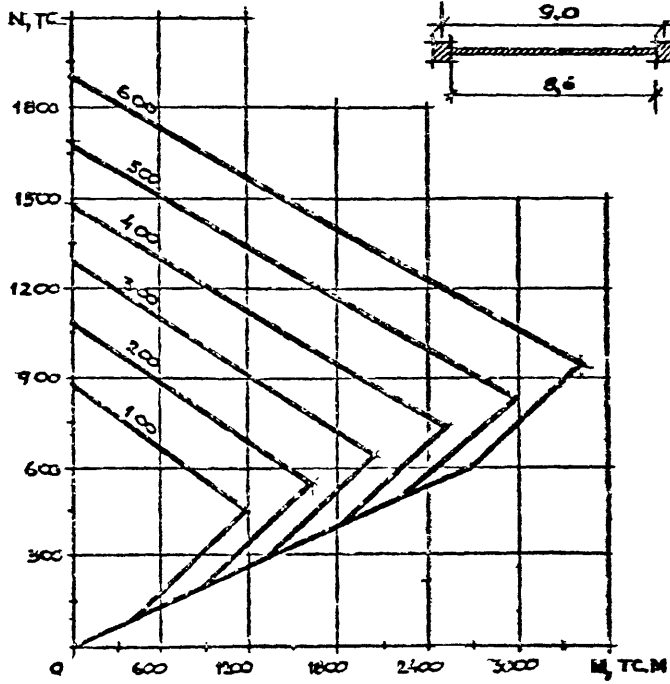
Прочность колонны Tc	N_x Tc	N_g Tc	M_g TcM	N_c Tc	M_c TcM
100	590	343	763	100	344
200	790	443	1107	200	688
300	990	543	1452	300	1033
400	1190	643	1796	400	1377
500	1390	743	2140	500	1721
600	1590	843	2485	600	2066

ИЗВ. И. Д. А. С. ПОДПИСЬ ИЛИ П. (СМ. Д. Д. Д. Д.)

Вх 32826 А45

1.020-1|87. 0-3-0573

Лист
21



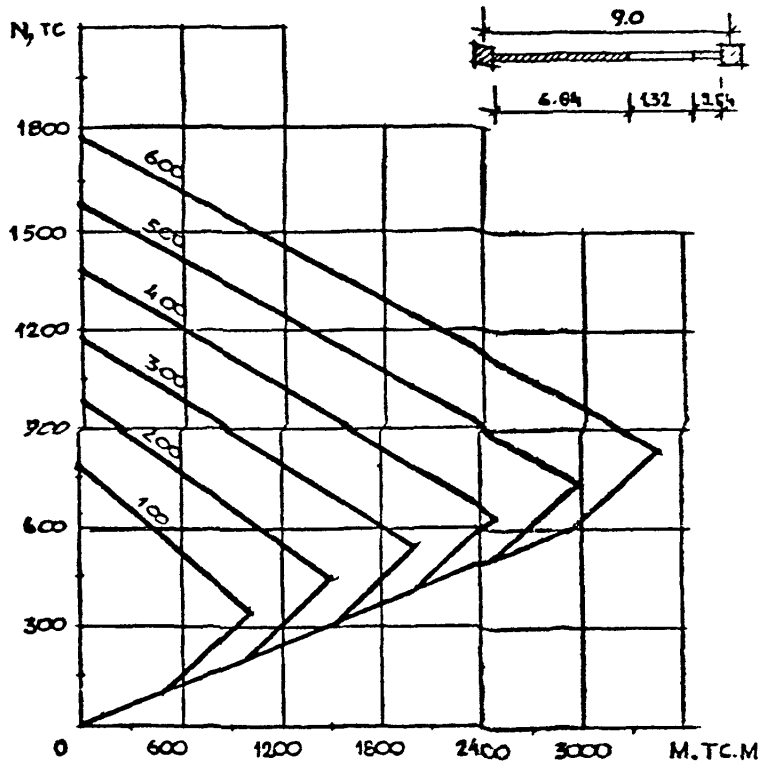
Прочность колонны, TC	N_a TC	N_b TC	M_b TC.M	N_c TC	M_c TC.M
100	888	444	1189	100	450
200	1088	544	1639	200	900
300	1288	644	2089	300	1350
400	1488	744	2539	400	1800
500	1688	844	2989	500	2250
600	1888	944	3439	600	2700

Вх. 32826 а.46

ИМЕ. И ПОЛ. КОЛОНЦЬ И.А.А.А. В.С.А.М. И.В.С.А.А.

1.020-1/87. 0-3-05ПЗ

ЛНСТ
22



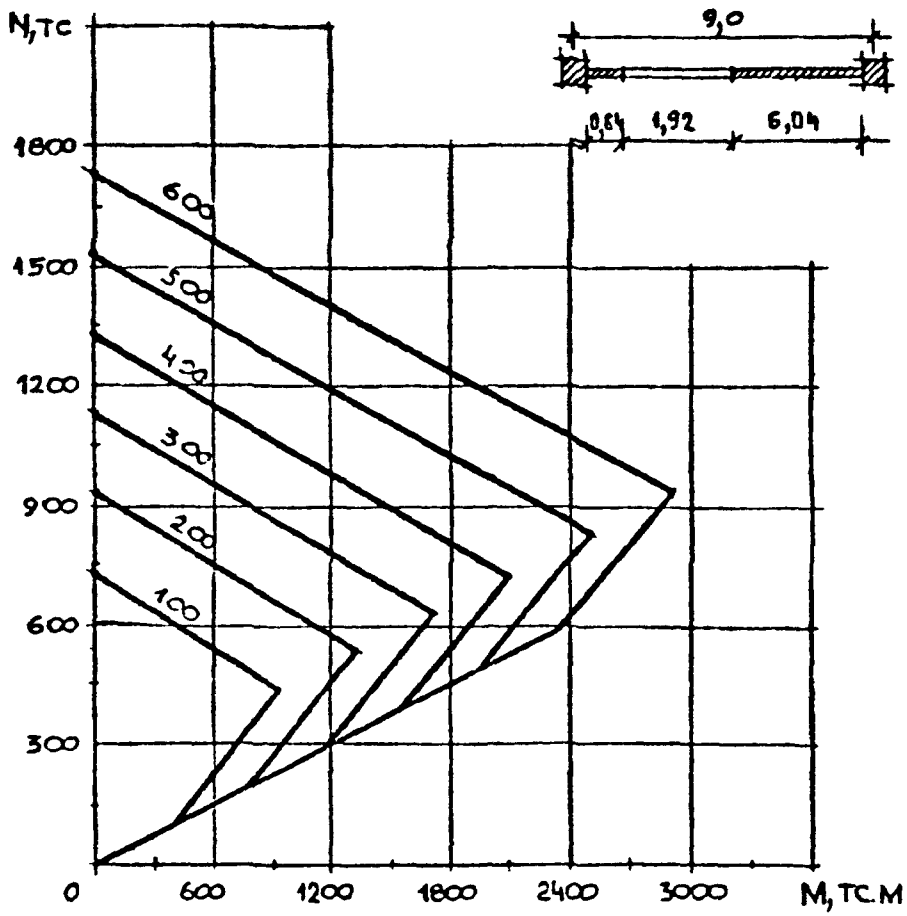
Прочность колонны , TC	N_a	N_b	M_b	N_c	M_c
	TC	TC	TCM	TC	TCM
100	782	338	1010	100	490
200	982	438	1500	200	981
300	1182	538	1991	300	1471
400	1382	638	2481	400	1962
500	1582	738	2972	500	2453
600	1782	838	3463	600	2943

Вх. 32826 л. 48

1.020 - 1/87. 0-3-05 ПЗ

ЛИСТ
24

Име. и подл. ПОЛИНСЬ И ЛАТА В ЗАК. ИВ. И



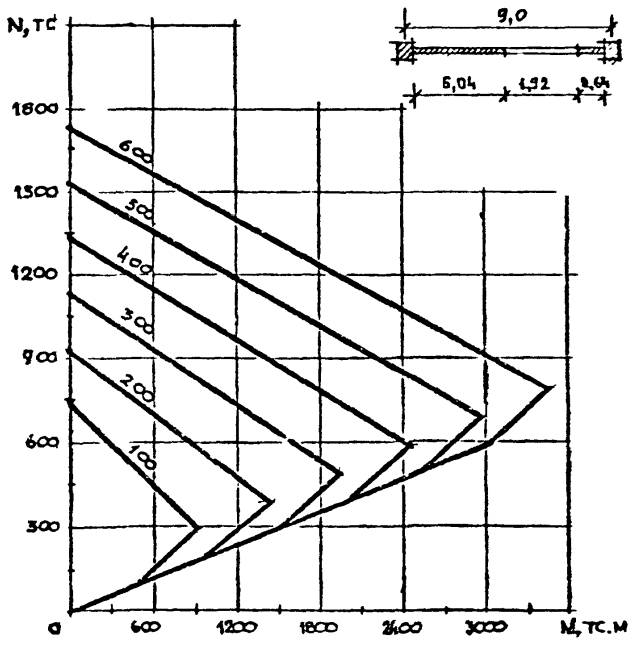
Прочность колонны, тс	N_a	N_b	M_b	N_c	M_c
	тс	тс	тсм	тс	тсм
100	734	444	938	100	393
200	934	544	1331	200	786
300	1134	644	1724	300	1180
400	1334	744	2118	400	1573
500	1534	844	2511	500	1966
600	1734	944	2904	600	2360

Бх 32826 л 49

1.020 - 1/87. 0-3-05 ПЗ

ЛКСТ
25

ИМЬ. И ПОДА
ПОДПИСЬ И ДАТА
БСАМ. ИМЬ И



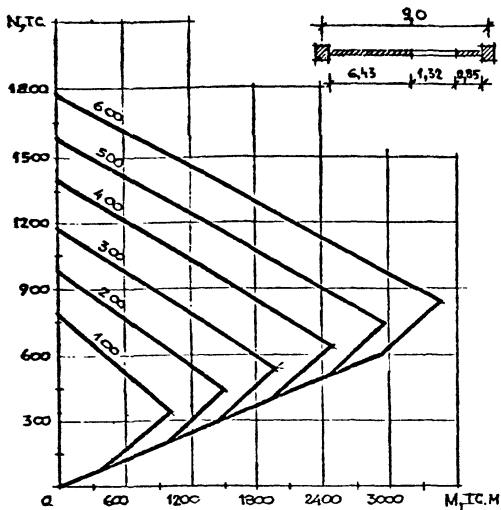
Имя и фамилия, подпись и дата, экзаменатор

Прочность колонны, тс	N_a тс	N_b тс	M_b тсм	N_c тс	M_c тсм
100	734	290	839	100	506
200	934	390	1445	200	1013
300	1134	490	1952	300	1519
400	1334	590	2459	400	2026
500	1534	690	2965	500	2533
600	1734	790	3472	600	3039

Вх. 32826 и. 50

1020-1/87. 0-3-0513

ЛИС:
26



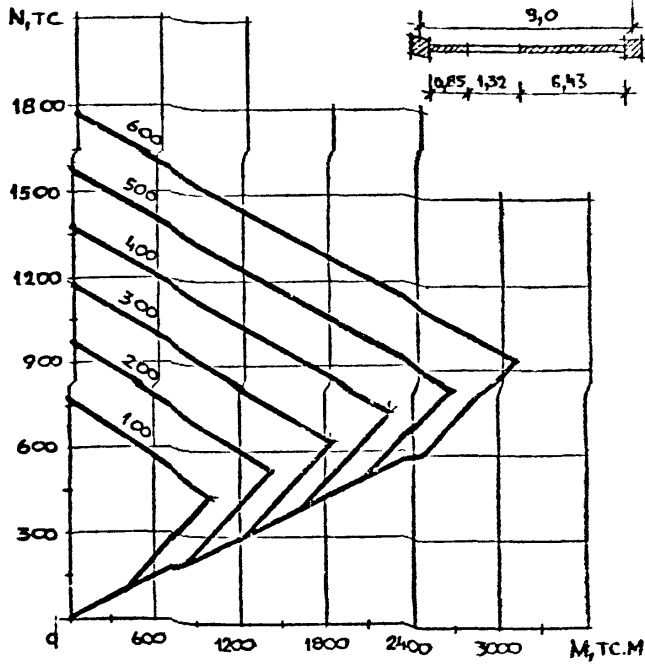
Прочность колонны, тс	N_a тс	N_b тс	M_b тсм	N_c тс	M_c тсм
100	782	338	1022	100	487
200	982	438	1510	200	975
300	1182	538	1998	300	1463
400	1382	638	2486	400	1951
500	1582	738	2973	500	2438
600	1782	838	3461	600	2926

И.А. КИРИЛЛ. ПОПЫЛ. И.А. ТА. В.С.АМ. И.В.В. И

Вх 32826 а. 51

1.020-1/87. 0-3-05113

АНСТ
27



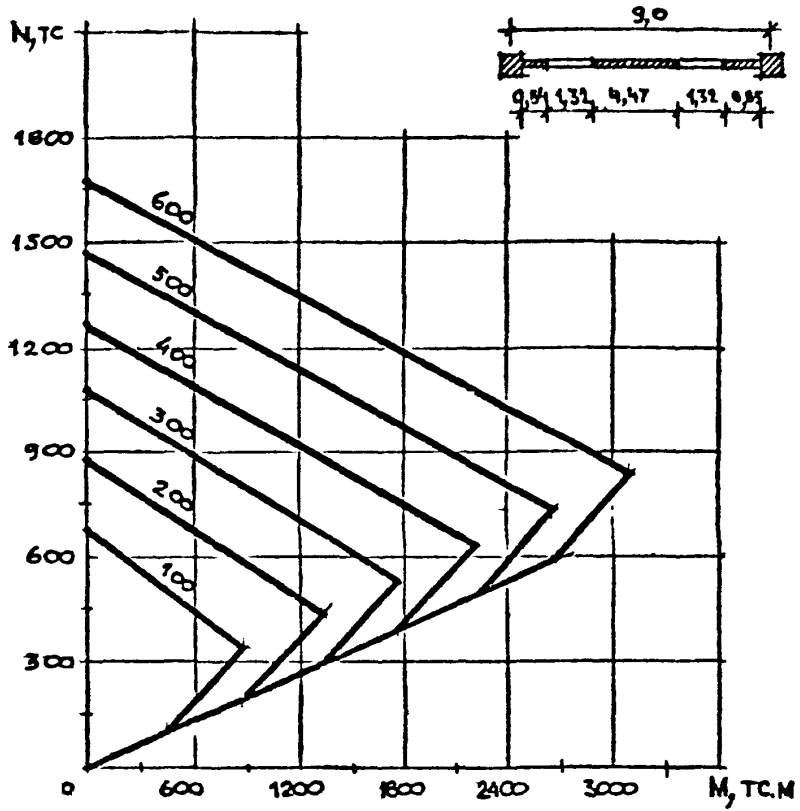
ИМЯ И ПОДПИСЬ И ДАТА (ВЗЛАН. ИМВ.Л)

Прочность колонны, TC	N_d TC	N_b TC	M_b TCM	N_c TC	M_c TCM
100	782	444	1021	100	412
200	982	544	1434	200	824
300	1182	644	1846	300	1236
400	1382	744	2258	400	1648
500	1582	844	2670	500	2061
600	1782	944	3083	600	2473

Л. С. 32828.1.5

1.020-1/87. 0-3-0503

ЛИСТ
20

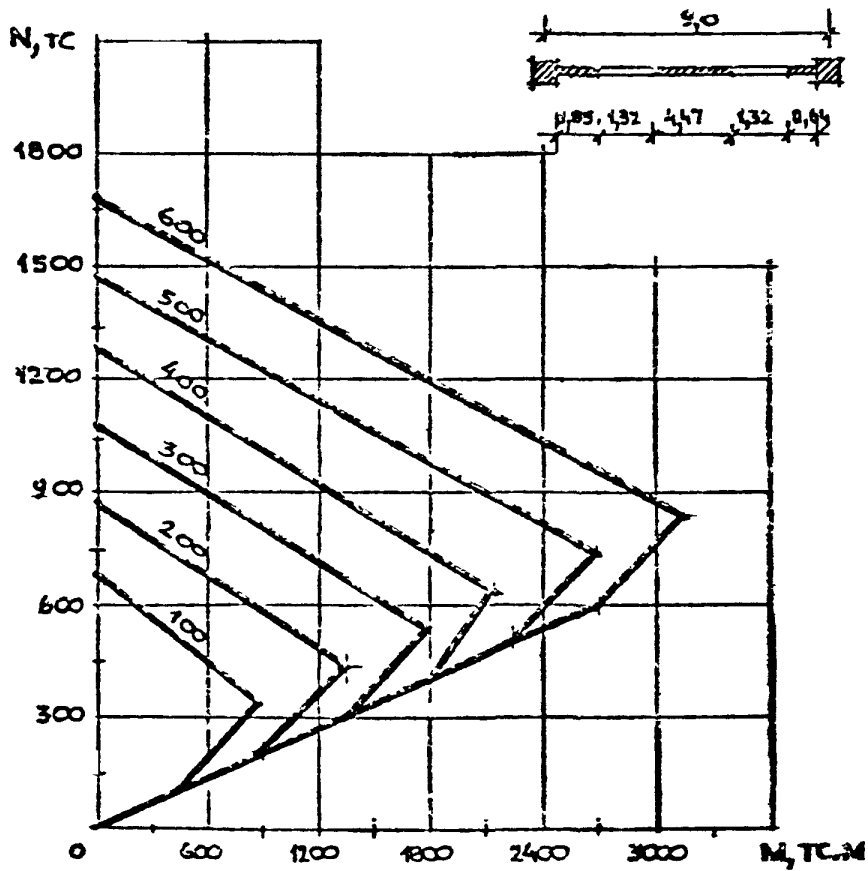


Прочность колонны, TC	N_a , TC	N_b , TC	M_b , TCM	N_c , TC	M_c , TCM
100	676	338	883	100	446
200	876	438	1330	200	893
300	1076	538	1777	300	1340
400	1276	638	2223	400	1786
500	1476	738	2670	500	2233
600	1676	838	3117	600	2680

Вх 52826.л.53

ГПЗО - 1/87. 0-3-05ПЗ	Лист 29
-----------------------	------------

ИМВ. И ПОДЛ. ПОДПИСЬ И ДАТА
 ВЗАМ. ИМВ. ИМ



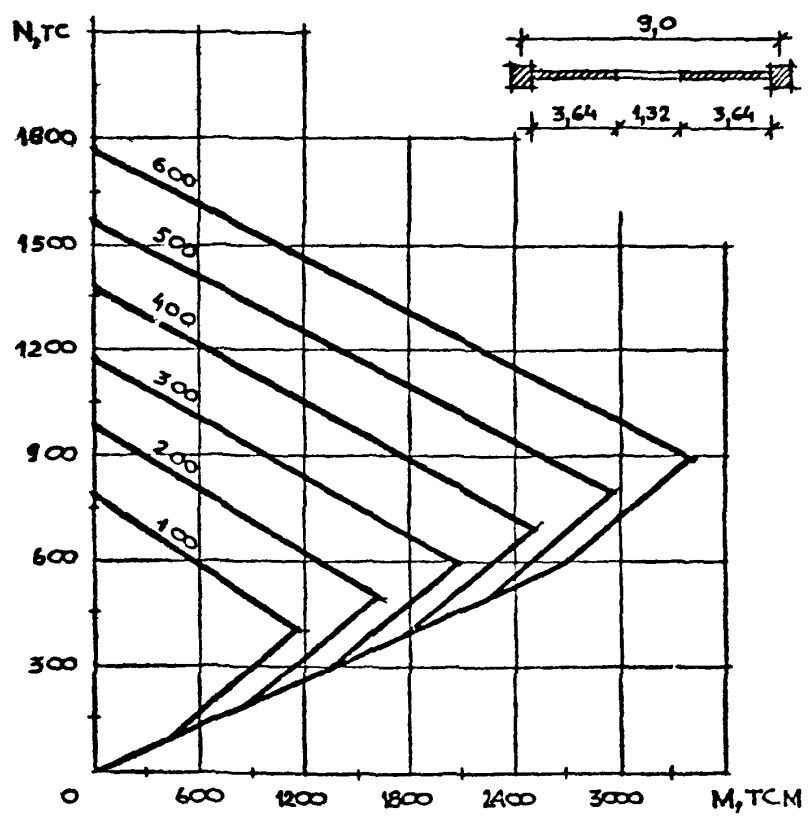
Прочность колонны, TC	N_d	N_b	M_b	N_c	M_c
	TC	TC	TC.M	TC	TC.M
100	676	338	883	100	453
200	876	438	1337	200	905
300	1076	538	1790	300	1359
400	1276	638	2243	400	1813
500	1476	738	2697	500	2266
600	1676	838	3150	600	2719

Вх 32826 Л. 54

1.020 - 1/87. 0-3-0503

ИВБ. Е. ПОЛД.
ПОДПИСЬ И ДАТА
В ЗАК. ИВБ.Л.

Лист
30



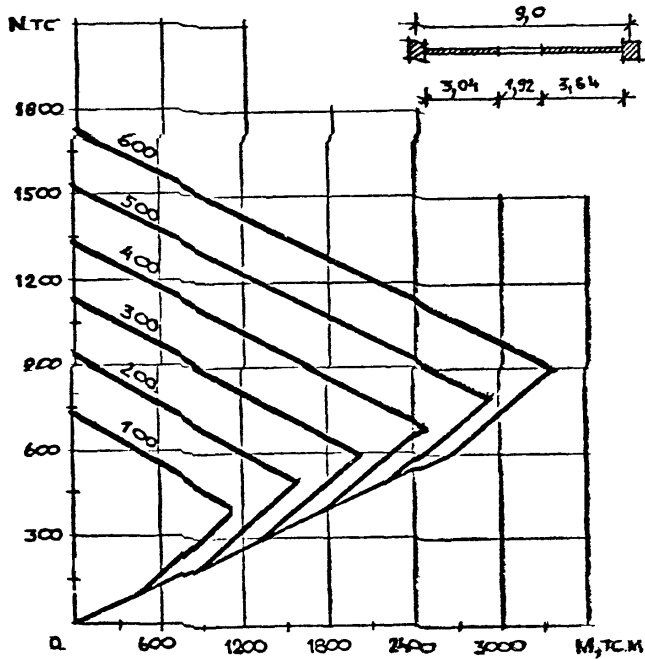
Прочность колонны, TC	N_a TC	N_b TC	M_b T.C.M	N_c TC	M_c T.C.M
100	782	391	1172	100	450
200	982	491	1622	200	900
300	1182	591	2072	300	1350
400	1382	691	2522	400	1800
500	1582	791	2972	500	2250
600	1782	891	3422	600	2700

Имя и подп. Проектист и дата. Взам. инв. №

Лит. 32826 л. 55

4.020 - 1/87. 0-3-05ПЗ

Лист
31

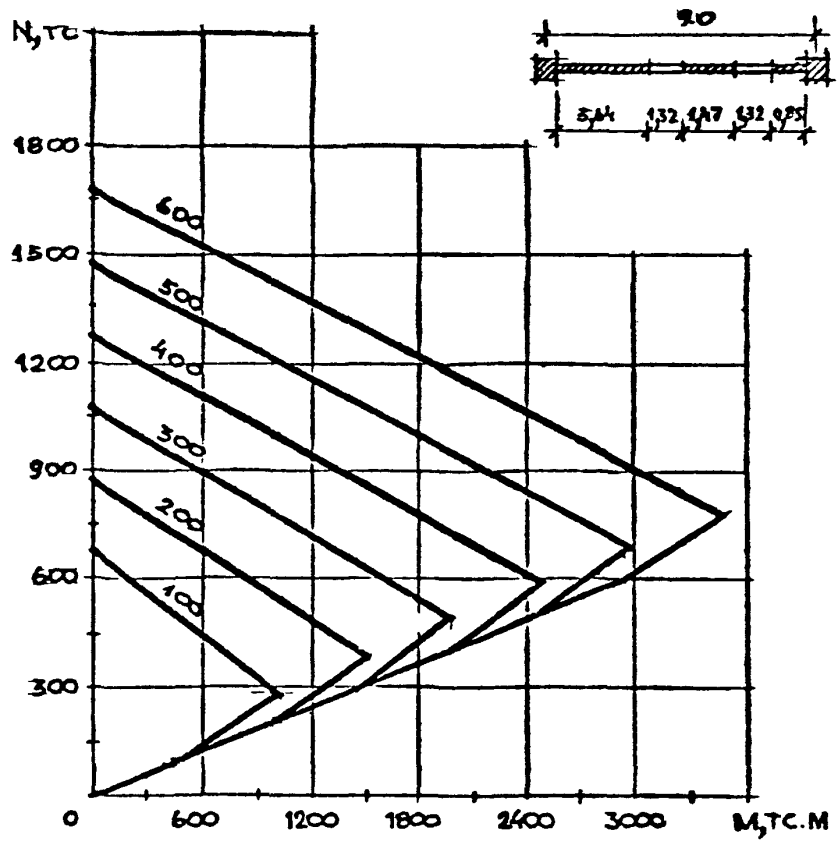


Прочность колонны, TC	N_a	N_b	M_a	N_c	M_c
	TC	TC	TC.M	TC	TC.M
100	734	39I	1147	100	443
200	934	49I	1591	200	887
300	1134	59I	2034	300	1331
400	1334	69I	2478	400	1774
500	1534	79I	2922	500	2218
600	1734	89I	3366	600	2662

В.К. Зв. 26 д. 56

1.020-1/87. 0-3-0513

ЛМСТ
52



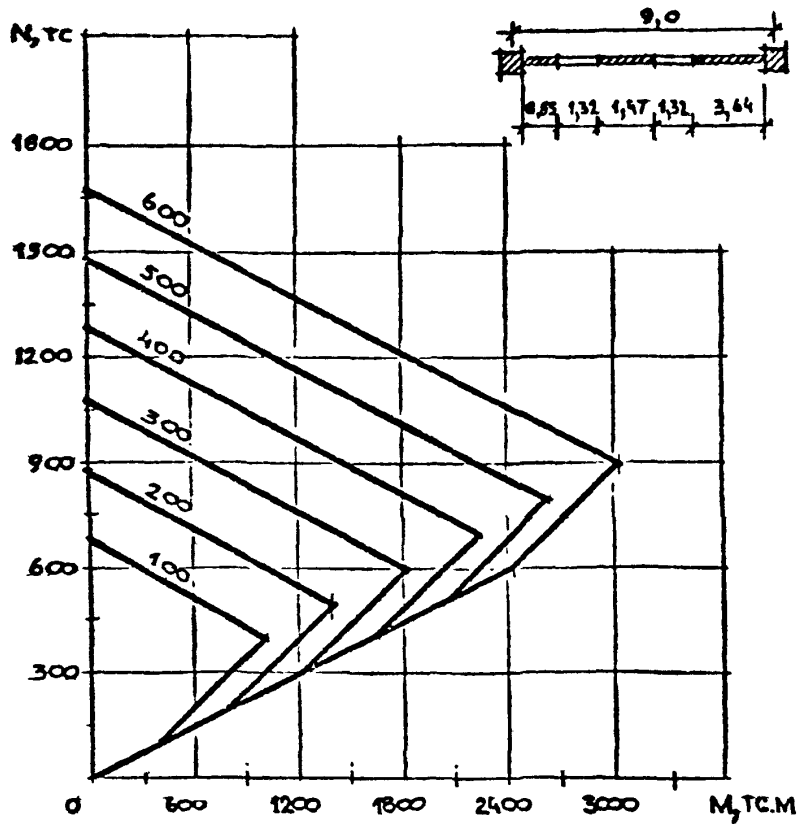
Прочность колонны, тс	N_a тс	N_g тс	M_g тсм	N_c тс	M_c тсм
100	676	285	1002	100	493
200	876	385	1495	200	987
300	1076	485	1989	300	1481
400	1276	585	2483	400	1974
500	1476	685	2976	500	2468
600	1676	785	3470	600	2962

ИМЬ И ПОДЛ. ПРАВН. И ДАТА. ВЗАМ. ИМЬ ИМЬ

Вх 32826 л. 58

1.020-1/87. 0-3-0573

ЛИСТ
34



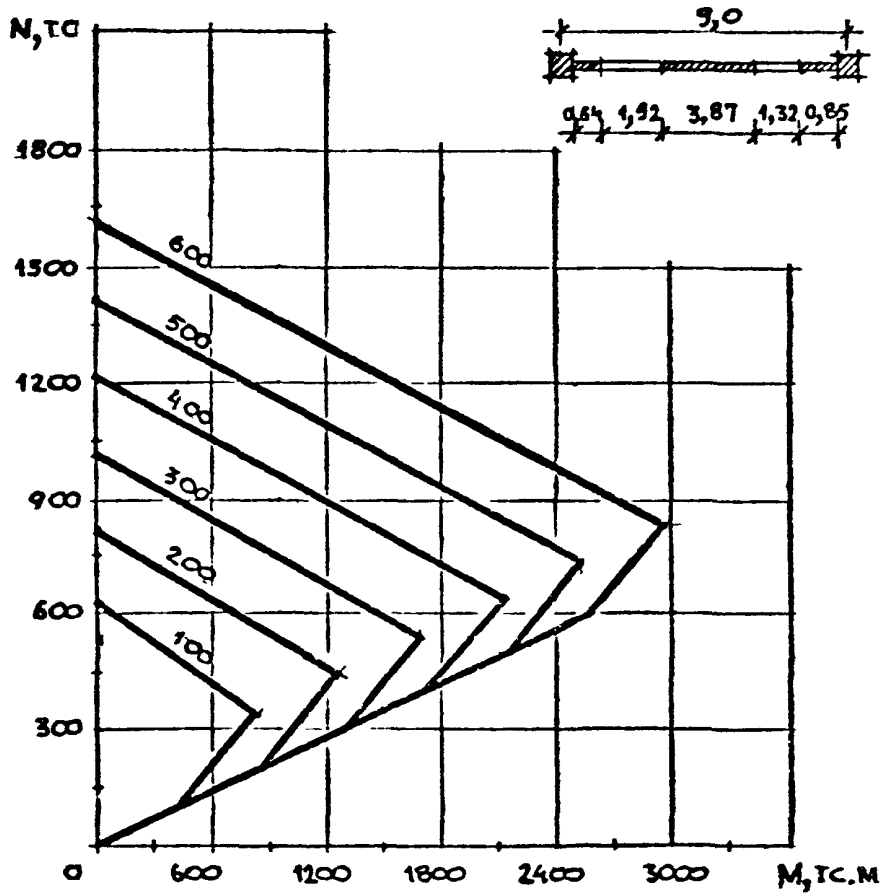
Прочность колонны, тс	N_a тс	N_b тс	M_b тсм	N_c тс	M_c тсм
100	676	39I	100I	100	406
200	876	49I	1407	200	8I2
300	1076	59I	18I4	300	12I8
400	1276	69I	2220	400	1625
500	1476	79I	2626	500	203I
600	1676	89I	3033	600	2437

ИМЬ. И ПОЛ. ПОДПИСЬ И ДАТА ВЪЗМ. ИМЬ. И

Вх. 32826 л. 59

4.020-1/87. 0-3-05ПЗ

ЛИСТ
35



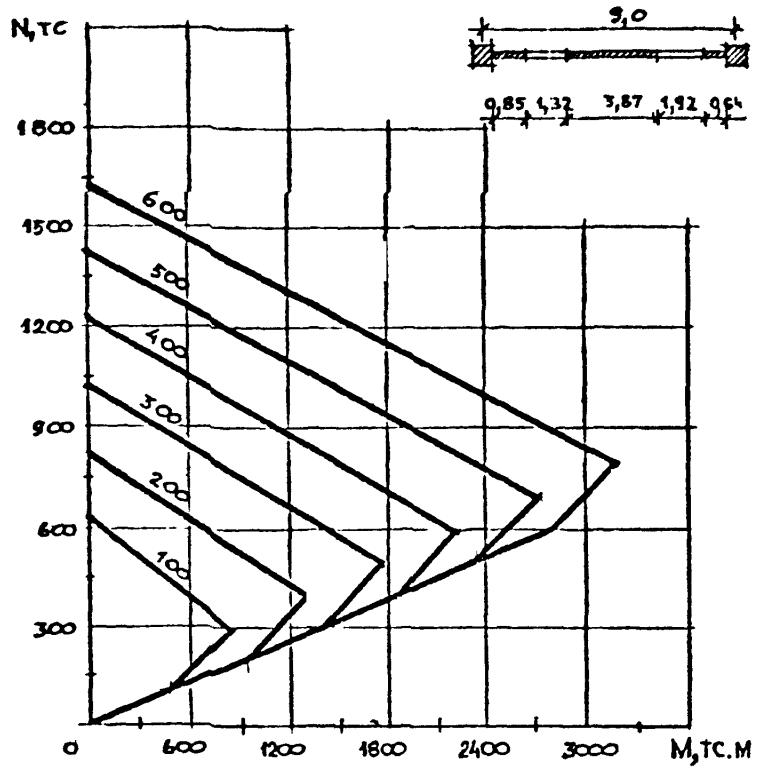
Прочность колонны, TC	N_a	N_g	M_b	N_c	M_c
	TC	TC	TC.M	TC	TC.M
100	628	338	830	100	430
200	828	438	1260	200	861
300	1028	538	1691	300	1292
400	1228	638	2122	400	1723
500	1428	738	2553	500	2154
600	1628	838	2984	600	2585

Вх. 32826 л.60

1.010-1/87. 0-3-05ПЗ

Лист
35

ИМБ.М.РДЛ. ПОДПИСЬ МАСТА. БЗАМ.ИВ.М.



Прочность колонны, TC	N_a TC	N_b TC	M_b TC.M	N_c TC	M_c TC.M
100	628	290	830	100	469
200	828	390	1299	200	938
300	1028	490	1768	300	1407
400	1228	590	2238	400	1876
500	1428	690	2707	500	2345
600	1628	790	3176	600	2814

ИНВ. ПРОБЛ. ПОДПИСЬ И ДАТА. ВЗАМ. ИМЕН

Вх. 32826 л. 61

1.020-1/87. 0-3-05 ПЗ

ЛИСТ
37

6. РАСЧЕТ ДИСКОВ ПЕРЕКРЫТИЙ.

6.1. Диски перекрытий можно не рассчитывать, если значения опорных реакций R , передаваемые диском на диафрагму жесткости, не превышают 5,5 тс при наличии проемов в дисках, расположенных в двух ближайших к диафрагме модулях (рис.14), или 7,0 тс, если вблизи диафрагмы проемы отсутствуют.

6.2. Опорные реакции R , передаваемые диском на диафрагму жесткости, равны разности поперечных сил в диафрагме выше и ниже данного диска (см.рис.15):

$$R_{ix} = Q_{i,k-1} - Q_{ik}$$

где i - номер диафрагмы; k - номер диска.

Значение поперечных сил определяется в результате статического расчета здания.

6.3. В случае, когда в конкретном проекте не соблюдаются условия, указанные в п.6.1, необходимо производить расчет дисков перекрытий и проверку прочности конструктивных элементов и узлов их крепления.

Условия в конструктивных элементах и узлах определяются статическим расчетом дисков перекрытий на совместное действие нагрузок и опорных реакций. Расчетные модели должны при этом достаточно точно отражать его конструктивные особенности. Допускается использовать расчетную модель диска в виде многополюсной фермы, в которой имитируют работу плит-распорок и связей между ними, стоек-работу ригелей и соответствующих связей, раскосы - работу плит перекрытий, заполняющих ячейку диска.

Вх. 32826 л.62

ИЗМ.	КОЛ-ВО	ПОДКОСЫ И ВАТА	ВЗАИМНО	НАЧ. ДТД	ПОЛНОСТЬЮ		1020-1/87. 0-3-0819	СТАДИЯ	ЛИСТ	ЛИСТОВ
				И КОМП.	СВЕРХА					
				ГЛАВ. ИСТ.	ША		РАСЧЕТ ДИСКОВ ПЕРЕКРЫТИЙ	ЦНИИЭП	1	ТОП. ОБО- ВЛЕННЫ ЗДАНИИ И ПРОСТРАН- СТВЕННЫМИ КОМПЛЕКСАМИ
				ГЛАВ. ИСТ.	СА-ФЕРМ					
				Г. И. П.	КОМБАДЗЕВА					
				ПРОВЕР.	ИРКАНОВА					
				РАЗРАБ.	САВРАНОВА					

Расчет такой формы может быть выполнен с помощью программы ДИСК, которая позволяет моделировать работу элементов дисков перекрытий по ближайшей упруго-пластической диаграмме.

Программа ДИСК реализована на СМ ЭВМ в операционной системе ОС РВ.

Детальные указания по расчету дисков приведены в "Рекомендациях по расчету каркасно-панельных общественных зданиях с применением ЭВМ". - М.: Стройиздат, 1986 г. и в инструкции к программе ДИСК.

6.4. Допустимые усилия в элементах диска определяют следующие значения несущих способностей соединений:

- прочность на растяжение узлов крепления пристенных плит в торцевых рядах - 5 тс, в средних - 8 тс;
- прочность на растяжение узлов крепления связевых плит в торцевых и средних рядах - 6 тс (по 3 тс на каждую связь);
- прочность на растяжение узла крепления ригелей к консолям колонн - 8 тс для торцевых ригелей и 5 тс - для средних ригелей.

ИМ.	ПОДП.	ПОДПИСЬ И ДАТА	ВЗЛАСЛ.Ф.В.

Лх. 32826 и 63

1.020-1/87. 0-3-0673

ЛСТ

2

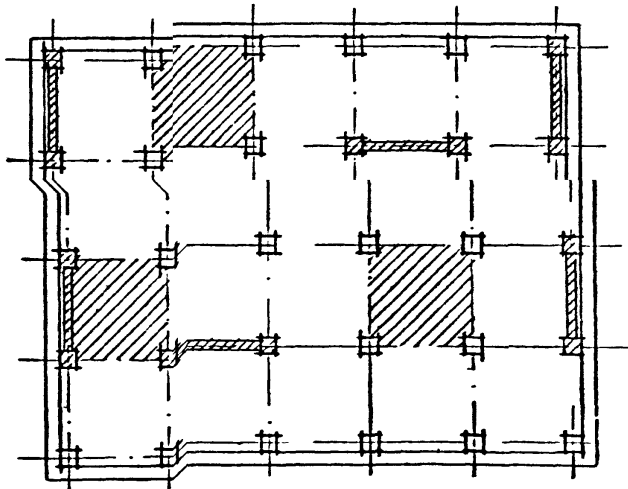


РИС. 14

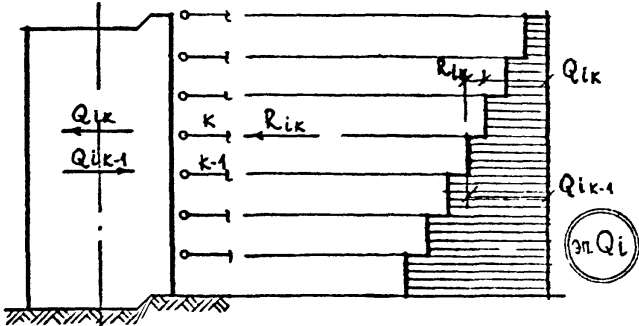


РИС. 15

ПОДПИСЬ И ДАТА ВРАТ. КИВ.И

№ 32826 л. 64

1.020-1/87. а-3-0673

ЛИСТ

3

том числе многослойные, с произвольным расположением арматуры любых классов.

7.3. Метод реализован в программе ROTOP, написанной на языке Фортран-77 для персональных ЭВМ и ЭВМ типа СМ-1420.

Оформленный в качестве самостоятельной программы модуль расчета диаграмм деформирования АРКАН может применяться автономно для анализа напряженно-деформированного состояния нормальных сечений железобетонных конструктивных элементов.

7.4. Программы ROTOP и АРКАН распространяются институтом по заявкам проектных организаций. Институт оказывает также методическую помощь при формировании расчетных схем здания, подготовке исходных данных и анализе результатов расчета.

Шифр подполья и дата размещения

Вх 32826 и 66

1.020-1/87.0-3-0713

ЛИСТ
2

Формат А4

8. ОГРАНИЧЕНИЯ ТЕМПЕРАТУРНЫХ ДЕФОРМАЦИЙ

8.1. Дополнительные усилия, возникающие вследствие температурных климатических воздействий, необходимо определять расчетом и учитывать совместно с усилиями от нагрузок при оценке прочности конструкций.

8.2. Расчеты можно не выполнять, если габариты здания D и расстояния между диафрагмами жесткости D_w (см.рис.16) не превышают предельных значений, приведенных на рис.17, 18 и определенных с использованием методов и программного обеспечения, характеристика которых дана в разделе 7 настоящих "Указаний". При этом учтены податливости соединений сборных диафрагм жесткости и дисков перекрытий, перемещения фундаментов на грунтовых основаниях, нелинейная работа колонн каркаса.

Расстояние C от края здания до оси ближайшей диафрагмы (см. рис.16) не должно превышать $0,5 D$.

Предельные значения расстояний между диафрагмами вычислены в предположении, что рассматриваемый участок перекрытия ограничен одинаковыми сборными плитами диафрагмами жесткости, указанными на графиках рис.18. Если диафрагмы не одинаковы и жесткость одной из них в два и более раза превышает жесткость другой, предельные значения расстояний по данным графика принимаются с коэффициентом 0,5, при промежуточных соотношениях жесткостей - по интерполяции. При этом подразумевается, что жесткость меньшей диафрагмы эквивалентна конструктивному варианту, указанному на графике.

Вх. 32826 л.67

ИЗМ. ПОДА.	ПОДПИСЬ И ПАТЯ		ИЗМ. ПОДА.		I:020-I/87. 0-3-0813 ОГРАНИЧЕНИЯ ТЕМПЕРАТУРНЫХ ДЕФОРМАЦИЙ РАЗДЕЛ 8	СТАДИЯ Р I I 4		
	МАКОУА	ВОДЬСКИЯ	ИХОУТР	СЛИВИНА		ЦНИИЭП <small>ГОРЬКОВСКО-ВУЛГАНСКИЕ ЗАДАЧИ И ТИПОВОЕ РЕШЕНИЕ</small>		
	САХОУТ	ШАЦ						
	САМАЧНС	ПАНЫШКИ						
	Г Я П	КОСАДШЕВА						
	ПРОСЕР	НИКОНОРСА						
	РАЗГАЕ	СИМСОН						

Допустимые температуры воздуха определяются в соответствии с конструкцией колоды с учетом монтажных схем по серии И.020-1/87, выпуск 0-1.

8.3. Ограничения, приведенные на графиках, соответствуют расчетным значениям удельной средней температуры в течение года Δt_w , а также по указанным в п.п. 8.1-8.7 серии И.020-1/87.

№ ПОДА	ПОДПИСЬ И ДАТА	ВЗНАШКА

Вх. 32826 л. 68

И.020-1/87. 0-3-0803

ЛИСТ
2

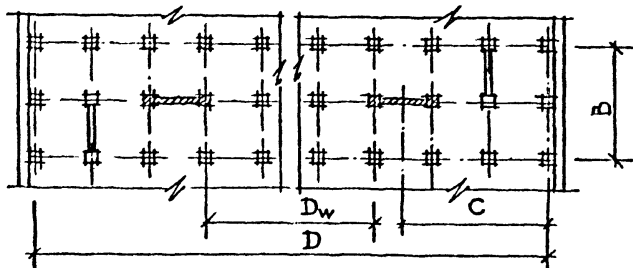


Рис. 16. ПРЕДЕЛЬНЫЕ ГАБАРИТЫ ЗДАНИЯ И РАССТОЯНИЯ МЕЖДУ КИФРАТМАМИ.

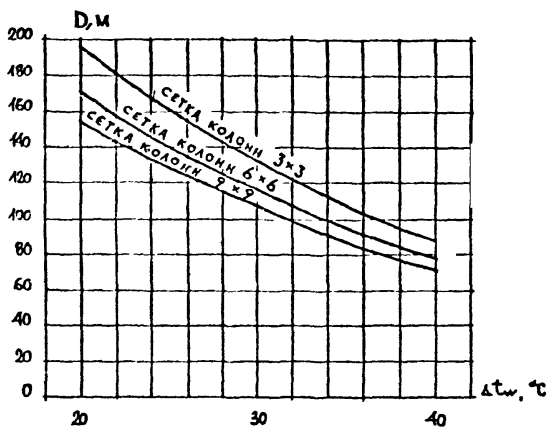


Рис. 17. ДОПУСТИМЫЕ ГАБАРИТЫ ЗДАНИЯ ПРИ РАЗЛИЧНОЙ СЕТКЕ КОЛОНН.

РИБ. ЗАДАЧА ПОСЛЕДНЕГО И ДАТА ВЕСА. И.В.В.И.

Лх. 32826 Л 69

1.020-1/87. 0-3-08ПЗ

ЛИСТ

3

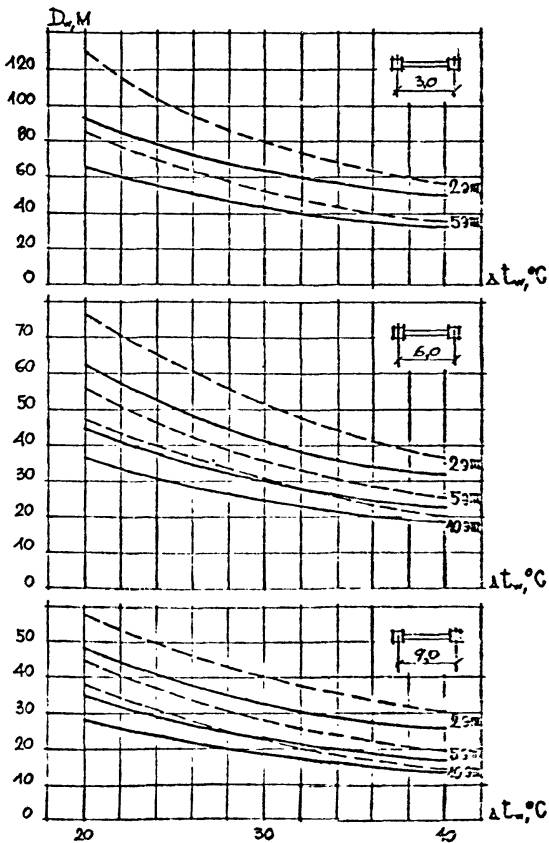


РИС. 18. ДОПУСТИМЫЕ РАССТОЯНИЯ МЕЖДУ ДИАФРАГМАМИ.
 --- ПРИ ШИРИНЕ ДИСКА $B=12$ М
 ——— ПРИ ШИРИНЕ ДИСКА $B=24$ М

ИЗЕР ПОДА ПОЛПИСИ И ДАТА ВЗАМ ЛРВН

Вх 32826 от 70/70

1.020-1/87. 0-3-09ПЗ

Лист
4